

DOI: <https://doi.org/10.30898/1684-1719.2024.6.7>

УДК: 621.372

## СИНТЕЗ МОДАЛЬНЫХ И ПОГОННЫХ ПАРАМЕТРОВ НЕСИММЕТРИЧНЫХ СВЯЗАННЫХ ЛИНИЙ С НЕОДНОРОДНЫМ ДИЭЛЕКТРИКОМ

А.Н. Сычев

Томский государственный университет систем управления и радиоэлектроники  
634050, г. Томск, пр. Ленина, 40

Статья поступила в редакцию 21 марта 2024 г.

**Аннотация.** Предложена методика синтеза несимметричных связанных линий передачи в неоднородном диэлектрике, заключающаяся в выборе рабочих физически обоснованных модальных параметров, по которым рассчитываются первичные параметры – погонные емкости и индуктивности. За основу берутся три импедансных параметра (характеристический импеданс, коэффициенты трансформации и связи), одно из модальных напряжений и пара модальных диэлектрических проницаемостей. Все исходные данные, выбранные для синтеза, имеют известные области допустимых значений и ясный физический смысл. Исследованы ранее малоизученные особенности и взаимозависимости параметров, включая импедансные и фазовые. Для демонстрации возможностей методики представлены синтезированные численные значения модальных и погонных параметров оригинальных 3-дБ мостов. Результаты могут быть полезны при разработке новых конструкций связанных линий и создании на их основе СВЧ-устройств с уникальными характеристиками.

**Ключевые слова:** связанные линии, модальные напряжения, модальные параметры, погонные емкости, погонные индуктивности, коэффициент трансформации, коэффициент связи, характеристический импеданс.

**Финансирование:** Работа выполнена при финансовой поддержке Министерства науки и высшего образования Российской Федерации FEWM-2022-0005.

**Автор для переписки:** Сычев Александр Николаевич, [ans@main.tusur.ru](mailto:ans@main.tusur.ru)

## Введение

Связанные линии передачи (СЛ) находят широкое применение в технике СВЧ. Они используются как самостоятельные компоненты в виде мостов, направленных ответвителей, делителей мощности, кроссоверов, импеданс-трансформирующих и симметрирующих устройств, а также как строительные блоки в составе сложных модулей таких как диаграммо-образующие устройства антенных решеток, фильтры, фазовращатели отражательного и проходного типов, аттенюаторы, смесители, балансные усилители и т.п. [1]-[7]. Отсюда, весьма важно иметь общую методику проектирования СЛ (рис.1), в которой по заданным рабочим параметрам синтезируются первичные (погонные) параметры. В настоящее время существуют достаточно много методик общего анализа СЛ [7]-[17], однако методики синтеза (реконструкции, восстановления) разработаны лишь для ряда частных случаев СЛ – симметричных [18], с однородным диэлектриком [19], [20] с двойным экраном [21], в частотной и временной областях [22]. При этом универсального подхода к синтезу модальных и погонных параметров произвольных несимметричных СЛ с неоднородным диэлектриком, позволяющих на их основе создавать новые устройства, включая направленные ответвители и мосты с заданным типом направленности (прямой, обратной, поперечной) в литературе автором не обнаружено.

## 1. Синтез физически реализуемых модальных параметров несимметричных СЛ с неоднородным диэлектриком

Известно, что в электрических расчетах параметры одиночной линии передачи без потерь представляются парой рабочих модальных параметров, которые при синтезе позволяют определить ее физическое воплощение (конструкцию и свойства поперечного сечения). Этими параметрами являются: волновое сопротивление, задающее сопротивление поглощающей резистивной нагрузки, и постоянная распространения, характеризующая фазовое замедление волны. На следующем этапе синтеза из модальных рассчитываются первичные параметры – погонные емкость и индуктивность, а затем осуществляется физическая реализация и самой линии передачи (хотя в простых случаях с однородным диэлектриком расчет первичных параметров не требуется).

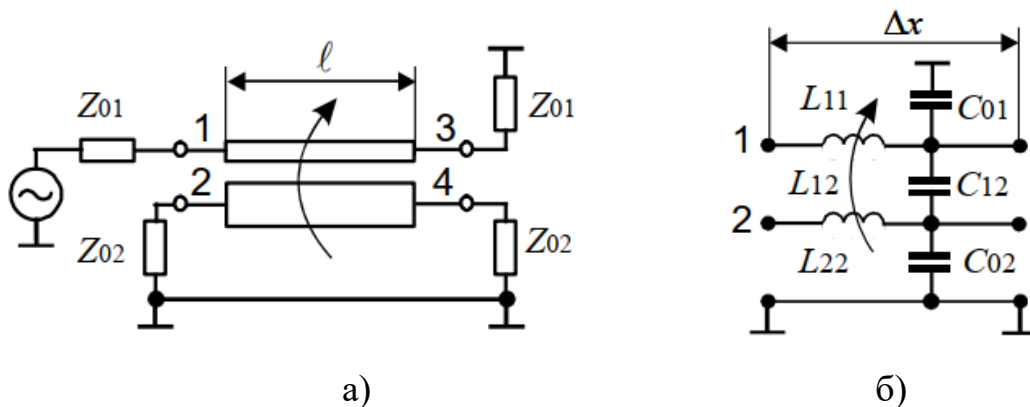


Рис. 1. Схема нагруженного отрезка СЛ длиной  $l$  (а); эквивалентная схема бесконечно короткого отрезка СЛ  $\Delta x$ , составленная из частичных емкостей и индуктивностей (б).

По аналогии для СЛ (рис. 1), полный набор модальных параметров (без учета потерь), выросший до шести, включает: три импедансных параметра, например  $Z_0$ ,  $n$  и  $k$ , характеризующих средний импеданс линий, межлинейную трансформацию и связь; два фазовых параметра, например  $\epsilon_{rc}$  и  $\epsilon_{r\pi}$ , определяющих замедление двух нормальных волн; а также одно из модальных напряжений, например синфазной волны  $R_c$ , характеризующее особенности структуры СЛ. Требования к некоторым из этих параметров обычно известны в самом начале проектирования, однако из-за взаимозависимости бывает непросто

обеспечить их совместимость и физическую реализуемость. Например, максимально достижимое отношение скоростей нормальных волн  $m_{\max}$  находится в сложно-функциональной зависимости от исходных данных. Для решения этой нетривиальной задачи – синтеза физически реализуемых модальных, а на их основе и погонных параметров СЛ – предлагается нижеследующая методика.

Синтез несимметричных СЛ с неоднородным диэлектриком, состоит в физически обоснованном выборе шести проектных модальных параметров, таких как: 1) характеристический импеданс  $Z_0$ ; 2) коэффициент трансформации  $n$ ; 3) коэффициент связи  $k$ ; 4) синфазное модальное напряжение  $R_c$ ; 5) диэлектрическая проницаемость структуры при синфазном возбуждении  $\varepsilon_{rc}$ ; 6) отношение скоростей нормальных волн  $m$ . Последовательность синтеза следующая:

- 1) Задаем требуемый характеристический импеданс связанных линий  $Z_0 > 0$ .
- 2) Задаем коэффициент трансформации напряжения  $n > 0$ , основываясь на известном соотношении  $n = u_2/u_1 = \sqrt{Z_{22}/Z_{11}}$ , где  $u_1$ ,  $u_2$ ,  $Z_{11}$ ,  $Z_{22}$  – входные и выходные напряжения и импедансы СЛ соответственно. Для общности синтеза он принимает значения как меньшие, так и большие единицы, что соответствует понижающему и повышающему трансформаторам напряжения. При этом, если нумерация линий начинается с наиболее удаленной от земли линии, то имеем случай понижающего трансформатора  $0 < n \leq 1$ , который проще рассматривать на последующих этапах синтеза. Если СЛ обладают структурной симметрией ( $n = 1$ ), то число независимых параметров сокращается с шести до четырех, например  $Z_0$ ,  $k$ ,  $\varepsilon_{re}$ ,  $m$  или  $Z_{0e}$ ,  $Z_{0o}$ ,  $\varepsilon_{re}$ ,  $\varepsilon_{ro}$ , что существенно упрощает расчеты.
- 3) Задаем коэффициент импедансной связи  $k$ , лежащий в диапазоне  $0 \leq k \leq \min(n^{\pm 1})$ . Заметим, что в случае импедансной симметрии, т.е. отсутствии трансформации импеданса  $n = 1$ , достижима любая величина коэффициента связи  $k$  в диапазоне  $0 \dots 1$ . В случае полной асимметрии

(двойного экранирования), когда первая (наиболее удаленная от внешнего экрана) линия полностью окружена второй, коэффициенты трансформации и связи становятся равными друг другу  $0 < (n = k) < 1$ . Большая трансформация из-за асимметрии, достигается снижением уровня связи, и при отсутствии связи  $k = 0$  возможна любая трансформация импеданса  $n = [0...∞)$ . С другой стороны, «чем сильнее связь, тем строже симметрия», и в случае полной связи  $k = 1$  никакой трансформации импеданса невозможно  $n = 1$ . Область допустимых значений для коэффициентов трансформации  $n$  и связи  $k$  СЛ показана на рис. 2.

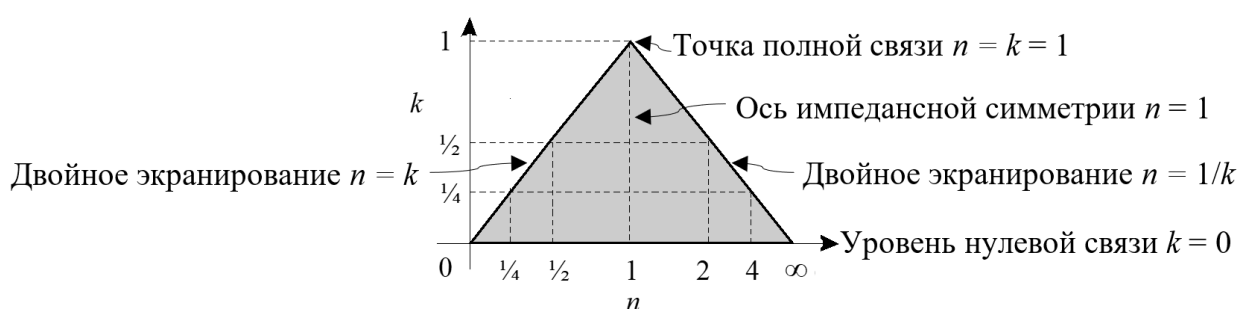


Рис. 2. Область допустимых значений коэффициентов трансформации  $n$  и связи  $k$  СЛ

- 4) Задаем синфазное модальное напряжение, соблюдая условие  $R_c > nk$ , с использованием которого вычисляется противофазное модальное напряжение

$$R_\pi = \frac{R_c nk - n^2}{R_c - nk} = \frac{R_c k - n}{R_c/n - k}. \quad (1)$$

При этом автоматически выполняется двойное неравенство  $R_\pi < nk < R_c$ . Еще заметим, что модальные напряжения  $R_c$  и  $R_\pi$  нормированы и безразмерны, так как являются отношениями напряжения на втором проводнике к напряжению на первом при синфазном и противофазном возбуждениях соответственно. Если СЛ симметричны ( $n = 1$ ), то  $R_c = 1$ ,  $R_\pi = -1$ .

- 5) Задаем значение меньшей из двух модальных диэлектрических проницаемостей, например синфазной  $\epsilon_{rc}$ . При этом соблюдаем условие

$\varepsilon_{rc} > 1$ , чтобы скорость соответствующей быстрой синфазной волны  $v_c = c/\varepsilon_{rc}^{1/2}$  не превышала скорости света  $c$ .

- б) Вычисляем максимально достижимое отношение скоростей нормальных волн  $m_{\max} = m_{\max}(R_c, k, n) > 1$  в СЛ, зависящее от модального напряжения  $R_c$  и двух коэффициентов – трансформации  $n$  и связи  $k$  – по следующим формулам

$$m_0 = \frac{Z_{c1}}{Z_{\pi 1}} = \frac{Z_{c2}}{Z_{\pi 2}} = \frac{1 - nk/R_\pi}{1 - nk/R_c} \Bigg|_{L_{12}=0}^{C_{12}=0} = \frac{1 - k^2}{1 + k^2 - k(n/R_c + R_c/n)}; \quad (2)$$

$$m_1 = \frac{1 - R_\pi}{1 - R_c} \cdot \frac{1}{m_0} \Bigg|_{L_{02}=0}^{C_{01}=0}; m_2 = \frac{1 - R_\pi^{-1}}{1 - R_c^{-1}} \cdot \frac{1}{m_0} \Bigg|_{L_{01}=0}^{C_{02}=0}; \quad (3)$$

$$m_i^+ = \begin{cases} \max(m_i^{\pm 1}), & m_i > 0; \\ \infty, & m_i < 0; \end{cases} \quad (i=0,1,2); \quad (4)$$

$$m_{\max} = \min(m_0^+, m_1^+, m_2^+), \quad (5)$$

где  $m_{(0,1,2)}$  и  $m_{(0,1,2)}^+$  – относительные импедансные параметры, зависящие от  $n$ ,  $k$ ,  $R_c$ ; позволяют вычислить максимально достижимое значение  $m_{\max}$ , которое нужно для задания физически реализуемого отношения модальных скоростей  $m = v_c/v_\pi$ . Для иллюстративного примера на рис. 3 приведем графики параметров  $m_0$ ,  $m_1$ ,  $m_2$ ,  $m_{\max} = m_{\max}(R_c, k, n)$  в зависимости от модального напряжения  $R_c$ . Из графиков (см. рис. 3) видно, что один из параметров  $m_0$  имеет полюсы на нижней границе аргумента  $R_c = nk$  и в точке  $R_c = n/k$ , а два других –  $m_1$  и  $m_2$  имеют полюсы при единичном аргументе  $R_c = 1$ . Вместе с тем параметр  $m_1$  обнуляется, когда  $R_c = n/k$ , а  $m_2$  обнуляется, когда  $R_c = nk$ , при этом всегда  $m_{\max} > 1$ . В часто встречаемом на практике случае конгруэнтной импедансной симметрии, когда  $R_c = 1$  и  $n = 1$ , все формулы (2)-(5) упрощаются и сводятся к одной  $m_{\max} = m_0 = Z_{0e}/Z_{0o} = (1+k)/(1-k)$ .

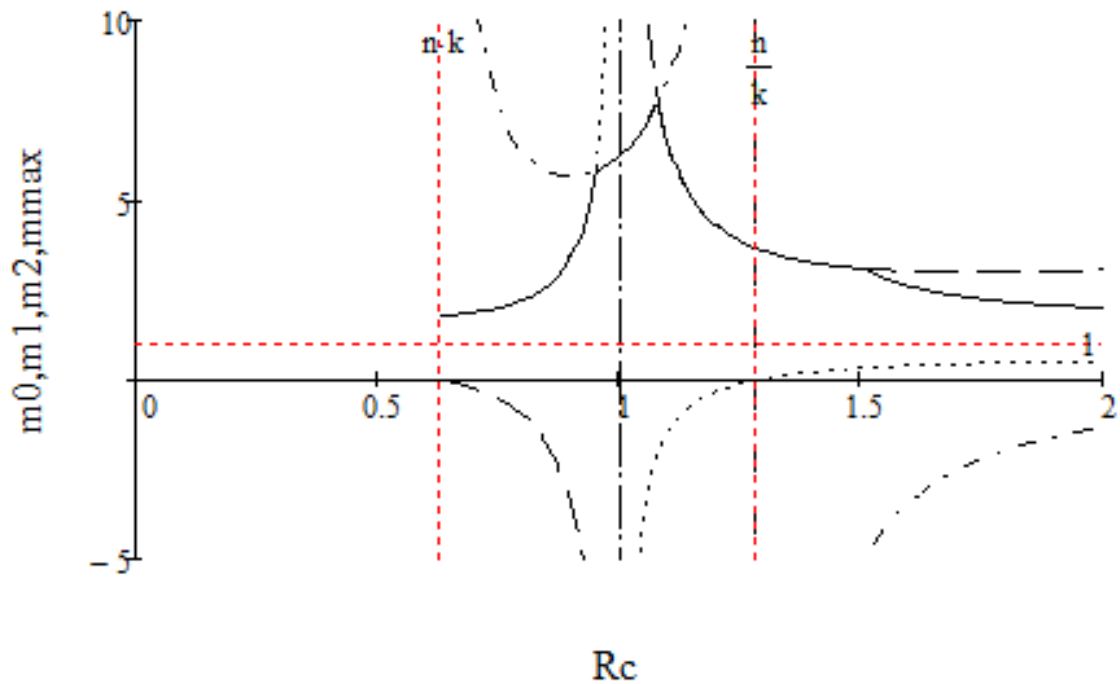


Рис. 3. Относительные импедансные параметры  $m_0$  (штрих-пунктирная),  $m_1$  (пунктирная),  $m_2$  (штриховая) и определяемое ими максимально достижимое отношение скоростей нормальных волн  $m_{\max}$  (сплошная линия) в СЛ при  $n = 0,9$   $k = 0,7$  в зависимости от модального напряжения  $R_c$ .

- 7) Задаем требуемое отношение скоростей нормальных волн  $m = v_c/v_\pi$ , соблюдая условие  $\max(m^{\pm 1}) < m_{\max}$  (если оно невыполнимо, то или снижаем требование к различию скоростей  $m$ , или увеличиваем  $m_{\max}$ , моделируя с новыми исходными данными) и рассчитав соответствующее отношение модальных диэлектрических проницаемостей  $m^2 = \varepsilon_{r\pi}/\varepsilon_{rc}$ , вычисляем значение большей диэлектрической проницаемости, в данном случае противофазной  $\varepsilon_{r\pi} = m^2\varepsilon_{rc}$ . На структурах с сильным диэлектрическим контрастом, имеющим 9-кратное отношение диэлектрических проницаемостей ( $m^2 = 9^{\pm 1}$ ) и, соответственно, троекратное отношение модальных скоростей ( $m = 3^{\pm 1}$ ), можно создавать оригинальные транснаправленные мосты, т.е. ответвители с поперечной направленностью [1], [21], еще по Фельдштейну называемые ответвителями 3-го типа направленности [19]. С другой стороны, структуры с диэлектрическим заполнением близким к однородному и обеспечивающие некоторое равенство модальных скоростей ( $m = 1$ ), т.е. синхронизм

нормальных волн [7], позволяют конструировать лишь традиционные противонаправленные ответвители разнообразных конструкций [3]-[7].

Предложенный выше алгоритм параметрического синтеза, изображен в виде схемы взаимосвязи и выбора основных модальных (импедансных и фазовых) параметров СЛ, показанной на рис. 4.

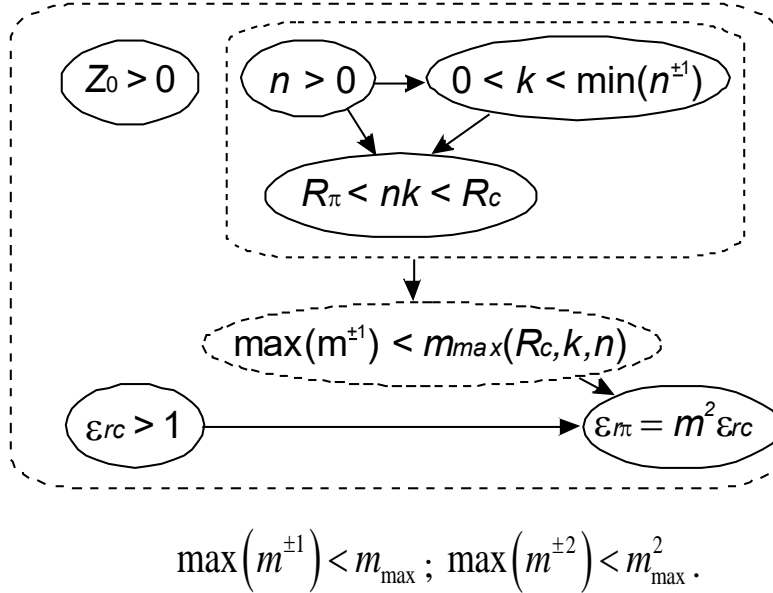


Рис. 4. Схема взаимосвязи и алгоритм выбора основных модальных параметров СЛ с учетом области их допустимых значений (физической реализуемости).

В итоге, полные наборы из шести физически реализуемых модальных параметров СЛ можно представить следующими основными (и не только) вариантами:

$$\begin{bmatrix} Z_0 & R_c & \varepsilon_{rc} \\ k & n & m \end{bmatrix} ; \begin{bmatrix} Z_0 & R_c & \varepsilon_{rc} \\ k & R_\pi & \varepsilon_{r\pi} \end{bmatrix} . \quad (6)$$

При этом вектор модальных диэлектрических проницаемостей  $\varepsilon_{rm}$  и матрица модальных напряжений  $\mathbf{U}_m$ , нормированная по первой линии-строке, как у В.К. Трипази (V.K.Tripathi) [10] и Н.Д. Малютина [11], а также матрицы модальных токов  $\mathbf{I}_m$ , характеристических сопротивлений  $\mathbf{Z}$  и проводимостей  $\mathbf{Y}$  [9] записываются так

$$\varepsilon_{rm} = \begin{pmatrix} \varepsilon_{rc} \\ \varepsilon_{r\pi} \end{pmatrix} ; \mathbf{U}_m = \begin{bmatrix} 1 & 1 \\ R_c & R_\pi \end{bmatrix} ; \mathbf{I}_m = \mathbf{YU}_m ; \quad (7)$$



$$\mathbf{Z} = \begin{bmatrix} Z_{11} & Z_{12} \\ Z_{21} & Z_{22} \end{bmatrix} = \frac{Z_0}{\sqrt{1-k^2}} \begin{bmatrix} 1/n & k \\ k & n \end{bmatrix}; \quad (8)$$

$$\mathbf{Y} = \begin{bmatrix} Y_{11} & Y_{12} \\ Y_{21} & Y_{22} \end{bmatrix} = \mathbf{Z}^{-1} = \frac{1}{Z_0 \sqrt{1-k^2}} \begin{bmatrix} n & -k \\ -k & 1/n \end{bmatrix}. \quad (9)$$

Далее рассмотрим взаимосвязи и интересные особенности основных модальных параметров, включая импедансные, а в итоге синтез погонных параметров СЛ. Результаты могут быть полезны при создании оригинальных конструкций СЛ с уникальными свойствами.

## 2. Взаимозависимость четырех модальных параметров – коэффициентов трансформации и связи, синфазного и противофазного модальных напряжений

Из вышеприведенных соотношений для СЛ можно получить единое уравнение, связывающее четверку (квартет) модальных параметров  $n$ ,  $k$ ,  $R_c$ ,  $R_\pi$

$$n^2 - (R_c + R_\pi)nk + R_c R_\pi = 0. \quad (10)$$

Из него можно, задавшись тремя любыми параметрами, найти четвертый неизвестный. Также видно, что произведение  $(R_c R_\pi)$  и сумма  $(R_c + R_\pi)$  модальных напряжений из матрицы  $\mathbf{U}_m$  могут быть представлены как новые переменные – функция и аргумент соответственно, которые математически соотносятся между собой прямо пропорционально через коэффициенты трансформации напряжения  $n$  и импедансной связи  $k$

$$R_c R_\pi = nk(R_c + R_\pi) - n^2. \quad (11)$$

Эта линейно-функциональная зависимость (11) показана на рис. 5, и в ней можно выделить пять особых точек: *A*) отрицательная бесконечность и функции  $(R_c R_\pi)$ , и аргумента  $(R_c + R_\pi)$ ; *B*) отрицательное значение функции  $(R_c R_\pi) = -n^2$  при нулевом аргументе  $(R_c + R_\pi) = 0$ ; *C*) нулевое значение функции  $(R_c R_\pi) = 0$  при аргументе  $(R_c + R_\pi) = n/k$ ; *D*) положительное значение функции  $(R_c R_\pi) = n^2$

при аргументе  $(R_c + R_\pi) = 2n/k$ ;  $E$ ) положительная бесконечность и функции  $(R_c R_\pi)$ , и аргумента  $(R_c + R_\pi)$ .

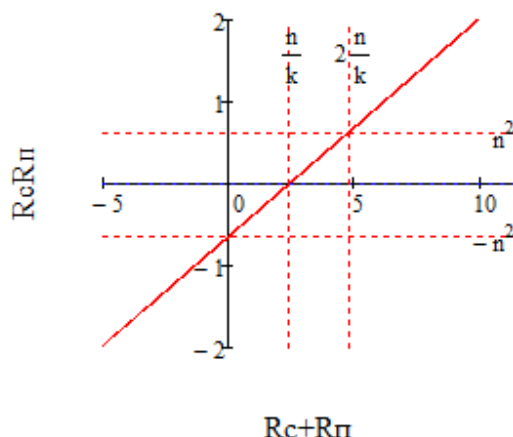


Рис. 5. Линейная зависимость произведения модальных напряжений  $(R_c R_\pi)$  от их суммы  $(R_c + R_\pi)$ , где  $n = 0,8$ ;  $k = 0,333$ .

Из (10), можно вновь вывести ранее представленную универсальную формулу (1) для модальных напряжений применимую как для  $R_c$ , так и для  $R_\pi$

$$R_{\pi,c} = \frac{R_{c,\pi}nk - n^2}{R_{c,\pi} - nk} = \frac{R_{c,\pi}k - n}{R_{c,\pi}/n - k}, \quad (12)$$

Кроме того, уравнение (10) одновременно является и квадратным по коэффициенту трансформации  $n$ , и линейным по коэффициенту связи  $k$ , решив которые можно возвратиться к изначально заданным коэффициентам трансформации  $n$  и связи  $k$

$$n = \frac{(R_c + R_\pi)k}{2} \pm \sqrt{\left[\frac{(R_c + R_\pi)k}{2}\right]^2 - R_c R_\pi}; \quad (14)$$

$$k = \frac{n + R_c R_\pi/n}{R_c + R_\pi}. \quad (15)$$

Однако, при таком обратном вычислении коэффициента трансформации  $n$  по формуле (14) получается два решения, из которых приходится выбирать подходящее физически обоснованное. При этом, оба решения могут оказаться физически нереализуемыми, если модальные напряжения выбраны произвольно и являются несовместимыми. Также следует отметить, что в случае

противоположных модальных напряжений  $R_c = -R_\pi = n$  вычисления по формуле (15) дают нулевые значения как в числителе, так и знаменателе дроби, следовательно, величина коэффициента связи  $k$  становится неопределенной. Еще отметим, что в симметричных линиях  $n = 1$  при отсутствии связи  $k = 0$  произведение модальных напряжений всегда равно минус единице  $R_c R_\pi = -1$ .

Учитывая следующие импедансные соотношения:

$$nk = \frac{Z_{12}}{Z_{11}}; n^2 = \frac{Z_{22}}{Z_{11}}; \frac{n}{k} = \frac{Z_{22}}{Z_{12}}, \quad (16)$$

формулу (11) можно переписать еще и так

$$R_c R_\pi = \frac{Z_{12}(R_c + R_\pi) - Z_{22}}{Z_{11}} = -\frac{Z_{c2}}{Z_{c1}} = -\frac{Z_{\pi2}}{Z_{\pi1}}. \quad (17)$$

$Z_{c1}, Z_{\pi1}, Z_{c2}, Z_{\pi2}$  – модальные импедансы, предложенные Трипази [10], которые будут подробно описаны двумя разделами ниже.

### 3. Взаимозависимость синфазного и противофазного модальных напряжений

Взаимобратные зависимости синфазного  $R_c$  и противофазного  $R_\pi$  модальных напряжений, в которых параметрами являются коэффициенты трансформации  $n$  и связи  $k$ , полученные из уравнения (12), показаны на рис. 6.

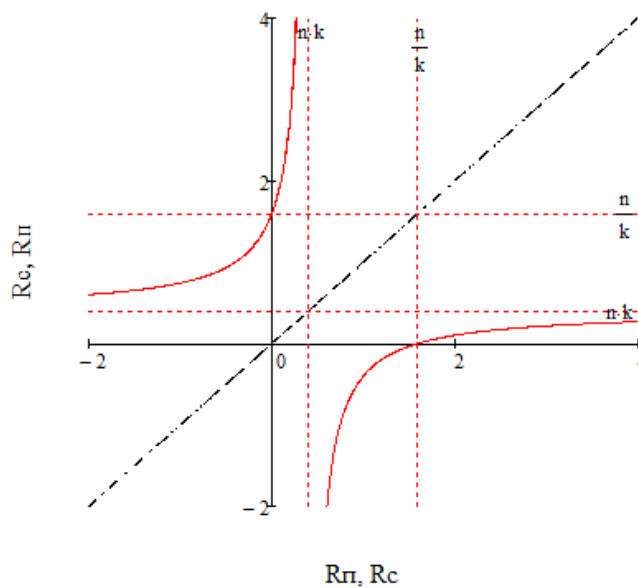


Рис. 6. Симметричные взаимобратные зависимости синфазного  $R_c$  и противофазного  $R_\pi$  модальных напряжений. Здесь  $n = 0,8; k = 0,5$ .

Из графиков функций модальных напряжений видно, что первый из них  $R_c(R_\pi)$  в основном располагается во 2-м квадранте, а второй  $R_\pi(R_c)$  – в четвертом. Графики не соприкасаются, а граничат между собой при аргументе равном  $nk$ , т.к. всегда выполняется двойное неравенство  $R_\pi < nk < R_c$ . Взаимобратные зависимости симметричны относительно биссектрисы 1-го и 3-го квадрантов (см. рис. 5), откуда следует, что в общем случае достаточно исследовать лишь одну из них, например  $R_\pi(R_c)$ , со всегда положительным аргументом  $R_c > nk$ , показанную на рис. 7.

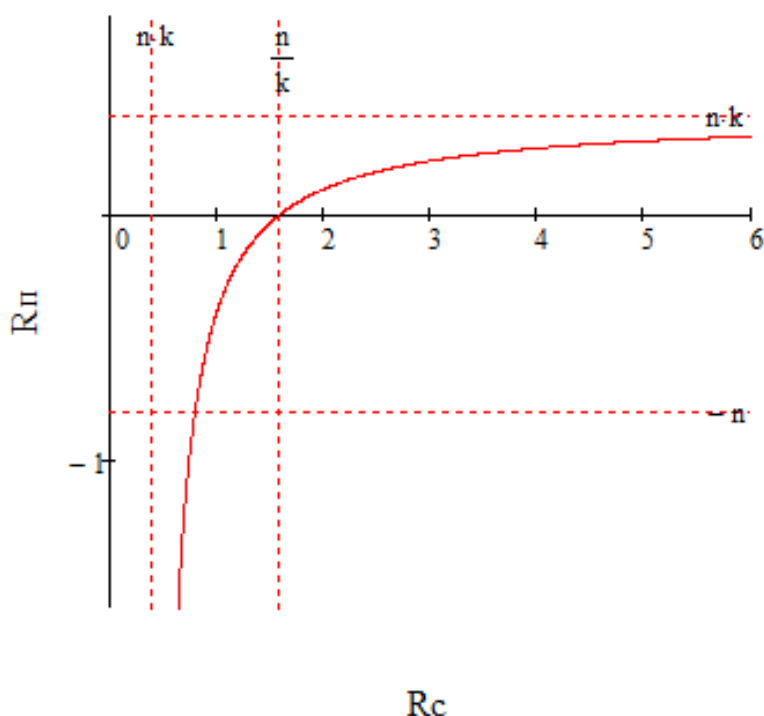


Рис. 7. Противофазное модальное напряжение  $R_\pi$  в зависимости от синфазного  $R_c$  и их особые значения (точки), определяемые коэффициентами трансформации  $n$  и связи  $k$  ( $n = 0,8$ ;  $k = 0,5$ ).

#### 4. Пять особых значений модальных напряжений и их комбинаций

Рассматривая графическую зависимость  $R_\pi(R_c)$ , показанную на рис. 6, выделяем на ней пять характерных особых точек (вариантов, значений) модальных напряжений  $R_c$  и  $R_\pi$  и их комбинаций:

А) Минимальные модальные напряжения  $R_c$  и  $R_\pi$  принимают значения

$$(R_c \quad R_\pi)_A = (nk \quad -\infty). \quad (18)$$

В) Противоположные модальные напряжения имеют значения  $R_{c,\pi} = \pm n$ ,

$$(R_c \ R_\pi)_B = (n \ -n); \tag{19}$$

а их произведение равно  $R_c R_\pi = -n^2$ .

С) Нулевое противофазное напряжение  $R_\pi = 0$  устанавливается, когда  $R_c = n/k$

$$(R_c \ R_\pi)_C = (n/k \ 0). \tag{20}$$

Д) Если синфазное и противофазное модальные напряжения принимают такие положительные значения  $R_{c,\pi} = n(1 \pm \sqrt{1-k^2})/k = nk/(1 \mp \sqrt{1-k^2})$ , то их произведение становится равным квадрату коэффициента трансформации  $R_c R_\pi = n^2$ , а в линиях возможно достижение уравновешенности емкостной и индуктивной связи  $k_L = k_C$  даже при неоднородном диэлектрическом заполнении. На эту, удивительную так называемую «критическую» точку, первым обратил внимание К. Саксе (K. Sachse) [13]

$$(R_c \ R_\pi)_D = \left[ \frac{n}{k}(1 + \sqrt{1-k^2}) \quad \frac{n}{k}(1 - \sqrt{1-k^2}) \right] = \left( \frac{nk}{1 - \sqrt{1-k^2}} \quad \frac{nk}{1 + \sqrt{1-k^2}} \right). \tag{21}$$

Е) Максимальные модальные напряжения имеют следующие значения

$$(R_c \ R_\pi)_E = (\infty \ nk). \tag{22}$$

Все выше представленные значения модальных напряжений в СЛ, а также их комбинации – суммы и произведения – в пяти особых точках приводятся в табл. 1

Таблица 1. Модальные напряжения и их комбинации в пяти особых точках.

Точка (вариант)	Модальные напряжения в СЛ и их комбинации			
	$R_c$	$R_\pi$	$R_c + R_\pi$	$R_c R_\pi$
A	$nk$	$-\infty$	$-\infty$	$-\infty$
B	$n$	$-n$	0	$-n^2$
C	$n/k$	0	$n/k$	0
D	$\frac{n}{k}(1 + \sqrt{1-k^2})$	$\frac{n}{k}(1 - \sqrt{1-k^2})$	$2n/k$	$n^2$
E	$\infty$	$nk$	$\infty$	$\infty$

## 5. Условия конгруэнтности, симметрии и двойного экранирования СЛ

Рассмотренные выше значения модальных напряжений  $R_c$  и  $R_\pi$  в пяти особых точках  $A, B, C, D, E$ , вычисляемые через коэффициенты трансформации  $n$  и связи  $k$ , уточним при следующих дополнительных условиях: 1) конгруэнтности  $R_c = 1$ ; 2) импедансной симметрии  $n = 1$  и 3) двойного экранирования  $n = k^{\pm 1}$ .

1) Условие конгруэнтности (соразмерности) СЛ, которое впервые предложил и исследовал Р.А. Специале (R.A. Speciale) [12], является фундаментальным, хотя и весьма простым, так как здесь синфазное модальное напряжение однозначно фиксируется  $R_c = 1$  (все особые точки сливаются в одну), а противофазное вычисляется следующим образом

$$R_\pi = \frac{k - n}{1/n - k} = -\frac{n - k}{n^{-1} - k} = -\frac{n^2 - nk}{1 - nk}. \quad (23)$$

Модальные напряжения и их комбинации при условии конгруэнтности сведем в табл. 2.

Таблица 2. Модальные напряжения и их комбинации при условии конгруэнтности.

Вариант (точка)	Модальные напряжения в СЛ и их комбинации			
	$R_c$	$R_\pi$	$R_c + R_\pi$	$R_c R_\pi$
Конгруэнтный	1	$-\frac{n - k}{n^{-1} - k}$	$\frac{1 - n^2}{1 - nk}$	$-\frac{n - k}{n^{-1} - k}$

При конгруэнтности возможны как симметрия ( $n = 1$ ), так и предельная асимметрия СЛ, доходящая до двойного экранирования, реализуемая в двух вариантах ( $n = k^{\pm 1}$ )

$$(R_c \quad R_\pi)_{R_c=1} = \begin{cases} (1 \quad 0); n = k; \\ (1 \quad -1); n = 1; \\ (1 \quad -\infty); n = 1/k. \end{cases} \quad (24)$$

Кроме того, здесь в СЛ становится возможным достижение наибольшего отношения скоростей нормальных волн  $m$ .

2) Импедансная симметрия (ИС), когда  $n = 1$ , как правило реализуется в конгруэнтной физически симметричной конструкции СЛ, где  $(R_c \ R_\pi)_{n=1} = (1 \ -1)_B$ . Из того, что в симметричном случае противофазное модальное напряжение выражается через синфазное так

$$R_\pi = \frac{R_c k - 1}{R_c - k}, \quad (25)$$

следует, что неконгруэнтная ИС возможна также и в структурах с межлинейной асимметрией конструкции, когда модальные напряжения  $(R_c \ R_\pi)$  принимают иные допустимые значения, включая особые точки  $A, B, C, D, E$

$$(R_c \ R_\pi)_{n=1} = \left[ (k \ -\infty)_A; (1 \ -1)_B; \left( \frac{1}{k} \ 0 \right)_C; \left( \frac{1 + \sqrt{1 - k^2}}{k} \ \frac{1 - \sqrt{1 - k^2}}{k} \right)_D; (\infty \ k)_E \right] \quad (26)$$

Для иллюстрации рассматриваемого случая ИС изобразим график зависимости противофазного модального напряжения  $R_\pi$  от синфазного  $R_c$  в импедансно-симметричных СЛ ( $n = 1$ ) с коэффициентом связи  $k = 0,5$  (рис. 8). На изображенной кривой лежат все вышеупомянутые характерные точки  $A, B, C, D$ , включая конгруэнтную  $B$  ( $R_c = 1$ ), но исключая точку  $E$ , лежащую в бесконечности. При этом другие промежуточные точки, лежащие на данной кривой, также допустимы, физически реализуемы и соответствуют другим промежуточным значениям модальных напряжений.

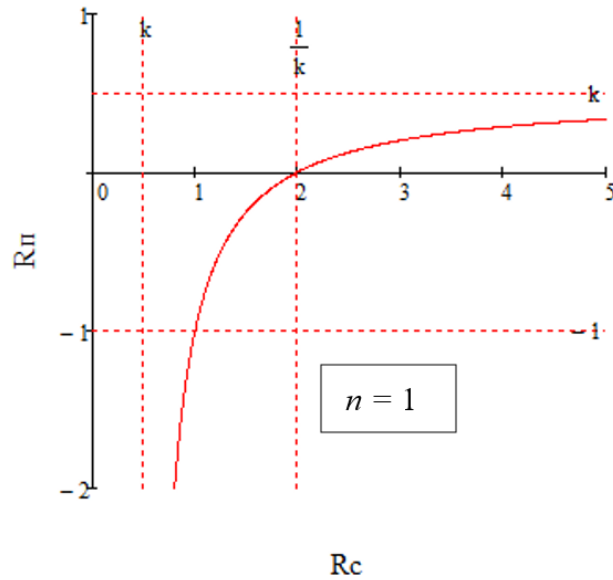


Рис. 8. Зависимость  $R_{\pi}(R_c, n, k)$  в импедансно-симметричных СЛ ( $n = 1; k = 0,5$ ).

3) Двойное экранирование (ДЭ) реализуется в структурах с конструкцией вложенных линий [21] и имеет два варианта  $n = k^{\pm 1}$ , отличающихся порядком нумерации линий: а)  $n = k$ , когда 1-я внутренняя линия экранируется 2-й внешней; б)  $n = 1/k$ , когда 2-я внутренняя линия экранируется 1-й внешней. При этом противофазное модальное напряжение вычисляется из синфазного по формулам

$$R_{\pi} = \begin{cases} \frac{R_c - 1}{R_c/k^2 - 1}, & n = k; \\ \frac{R_c - 1/k^2}{R_c - 1}, & n = 1/k. \end{cases} \quad (27)$$

Обычно реализуется в базовом конгруэнтном исполнении  $R_c = 1$ , при котором достижимо любое отношение скоростей нормальных волн  $m$  в двух вариантах

$$(R_c \quad R_{\pi}) = \begin{cases} (1 \quad 0)_C, & n = k; \\ (1 \quad -\infty)_A, & n = 1/k. \end{cases} \quad (28)$$

Реализация СЛ с двойным экраном также возможна и в неконгруэнтных исполнениях  $R_c \neq 1$ , включая особые точки  $A, B, C, D, E$

$$(R_c \quad R_{\pi}) = \begin{cases} \left[ (k^2 \quad -\infty)_A; (k \quad -k)_B; (1 \quad 0)_C; (1 + \sqrt{1 - k^2} \quad 1 - \sqrt{1 - k^2})_D; (\infty \quad k^2)_E \right], & n = k; \\ \left[ (1 \quad -\infty)_A; \left(\frac{1}{k} \quad -\frac{1}{k}\right)_B; \left(\frac{1}{k^2} \quad 0\right)_C; \left(\frac{1 + \sqrt{1 - k^2}}{k^2} \quad \frac{1 - \sqrt{1 - k^2}}{k^2}\right)_D; (\infty \quad 1)_E \right], & n = 1/k. \end{cases} \quad (29)$$



Для иллюстрации этой пары вариантов ДЭ  $n = k^{\pm 1}$  построим графики противофазного модального напряжения  $R_{\pi}$  в зависимости от синфазного  $R_c$  для СЛ с коэффициентом связи  $k = 0,8$  (рис. 9). На изображенных кривых (см. рис. 8 а, б) лежат все вышеупомянутые характерные точки  $A, B, C, D, E$ , включая конгруэнтную  $B (R_c = 1)$ , но исключая точку  $E$ , лежащую в бесконечности.

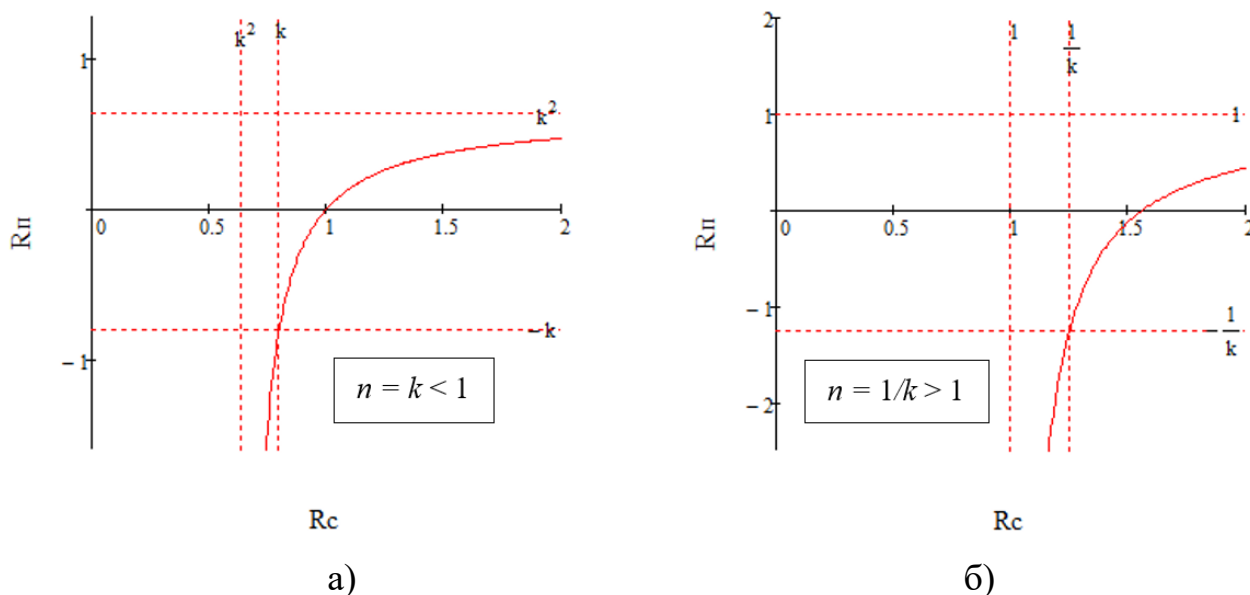



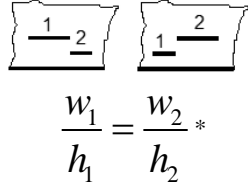
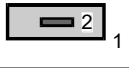
Рис. 9. Зависимость  $R_{\pi}(R_c, n, k)$  для СЛ с двойным экраном ( $k = 0,8$ ), в двух вариантах, когда экранируется: а) первая линия второй  $n = k$ ; б) вторая линия первой  $n = 1/k$ .

Итак, два крайних случая – импедансной симметрии ( $n = 1$ ) и двойного экранирования ( $n = k^{\pm 1}$ ) СЛ – различаются лишь величиной коэффициента трансформации. Однако, существует еще ряд вариантов, различающихся значениями модальных напряжений  $R_c$  и  $R_{\pi}$ , из которых можно выделить пять особых –  $A, B, C, D, E$ , включая конгруэнтный ( $R_c = 1$ ). Основные варианты матриц модальных напряжений  $U_m$  для вышеупомянутых импедансно-симметричных ( $n = 1$ ) и СЛ с двойным экраном ( $n = k^{\pm 1}$ ) приводятся в табл. 3.

Из записи матрицы  $U_m$  (см. табл. 3) для СЛ с двойным экраном, а также импедансно-симметричных, очевидно, что только в конгруэнтном случае ( $R_c = 1$ ) элементы матрицы модальных напряжений  $U_m$  не зависят от коэффициента связи  $k$ , а в остальных неконгруэнтных случаях ( $R_c \neq 1$ ) напряжения  $U_m$  зависят от коэффициента связи  $k$ .

Теперь, подробнее рассмотрим часто встречающиеся на практике конструкции связанных линий с импедансной симметрией (СЛИС), режимы их возбуждения, структуры квазистатических полей (карты эквипотенциальных линий) в поперечном сечении и варианты модальных напряжений (табл. 4).

Таблица 3. Элементы матриц модальных напряжений СЛ в зависимости от синфазного модального напряжения, коэффициентов трансформации и связи.

Вариант (точка)	Синфазное модальное напряжение $R_c$	Матрица модальных напряжений $U_m$	Коэффициент трансформации СЛ ( $k \leq n \leq 1/k$ )		
			СЛ с двойным экраном 1	Импедансно-симметричные СЛ	СЛ с двойным экраном 2
					
		$n = k < 1$	$n = 1$	$n = 1/k > 1$	
Конгруэнтный	1	$\begin{bmatrix} 1 & 1 \\ 1 & -\frac{n-k}{1/n-k} \end{bmatrix}$	$\begin{bmatrix} 1 & 1 \\ 1 & 0 \end{bmatrix}$	$\begin{bmatrix} 1 & 1 \\ 1 & -1 \end{bmatrix}$	$\begin{bmatrix} 1 & 1 \\ 1 & -\infty \end{bmatrix}$
A	$nk$	$\begin{bmatrix} 1 & 1 \\ nk & -\infty \end{bmatrix}$	$\begin{bmatrix} 1 & 1 \\ k^2 & -\infty \end{bmatrix}$	$\begin{bmatrix} 1 & 1 \\ k & -\infty \end{bmatrix}$	$\begin{bmatrix} 1 & 1 \\ 1 & -\infty \end{bmatrix}$
B	$n$	$\begin{bmatrix} 1 & 1 \\ n & -n \end{bmatrix}$	$\begin{bmatrix} 1 & 1 \\ k & -k \end{bmatrix}$	$\begin{bmatrix} 1 & 1 \\ 1 & -1 \end{bmatrix}$	$\begin{bmatrix} 1 & 1 \\ 1/k & -1/k \end{bmatrix}$
C	$n/k$	$\begin{bmatrix} 1 & 1 \\ n/k & 0 \end{bmatrix}$	$\begin{bmatrix} 1 & 1 \\ 1 & 0 \end{bmatrix}$	$\begin{bmatrix} 1 & 1 \\ 1/k & 0 \end{bmatrix}$	$\begin{bmatrix} 1 & 1 \\ 1/k^2 & 0 \end{bmatrix}$
D	$\frac{n(1+k')}{k}$ , где $k' = \sqrt{1-k^2}$	$\begin{bmatrix} 1 & 1 \\ R_c & R_\pi \end{bmatrix}$	$R_{c,\pi} = 1 \pm k'$	$R_{c,\pi} = (1 \pm k')/k$	$R_{c,\pi} = (1 \pm k')/k^2$
E	$\infty$	$\begin{bmatrix} 1 & 1 \\ \infty & nk \end{bmatrix}$	$\begin{bmatrix} 1 & 1 \\ \infty & k^2 \end{bmatrix}$	$\begin{bmatrix} 1 & 1 \\ \infty & k \end{bmatrix}$	$\begin{bmatrix} 1 & 1 \\ \infty & 1 \end{bmatrix}$

\* Здесь  $w_1, w_2, h_1, h_2$  – ширины и высоты над землей 1-й и 2-й линий соответственно в СЛ с однородным диэлектриком.

Заметим, что столбцы матрицы модальных напряжений  $U_m$  являются собственными векторами, найденными с точностью до произвольного постоянного множителя с начальной стандартной нормировкой по первой строке (в которой стоят единицы) [10], [11], однако их иногда желательно ренормировать с целью приведения всех элементов в границы диапазона  $[-1...+1]$ .

Таблица 4. Конструкции СЛ с импедансной симметрией ( $n = 1$ ) и режимы их возбуждения, матрицы модальных напряжений и структуры полей.

Вариант возбуждения (тип симметрии)	Матрицы модальных напряжений $U_m$		Режимы возбуждения со структурами полей импедансно-симметричных СЛ ( $n = 1$ )				
	Нормированные по 1-й строке $U_m$	Ренормированные матрицы $U_m$ и типы конструкций СЛ $\frac{w_1}{h_1} = \frac{w_2}{h_2}^*$	Синфазный ( $c$ )		Противофазный ( $\pi$ )		
$A$	$\begin{bmatrix} 1 & 1 \\ k & -\infty \end{bmatrix}$	$\begin{bmatrix} 1 & 0 \\ k & 1 \end{bmatrix}$	$w_1 > w_2^*$ 	$\begin{pmatrix} 1 \\ k \end{pmatrix}$		$\begin{pmatrix} 0 \\ 1 \end{pmatrix}$	
$B$	$\begin{bmatrix} 1 & 1 \\ 1 & -1 \end{bmatrix}$	$w_1 = w_2^*$ 		$\begin{pmatrix} 1 \\ 1 \end{pmatrix}$		$\begin{pmatrix} 1 \\ -1 \end{pmatrix}$	
$C$	$\begin{bmatrix} 1 & 1 \\ 1/k & 0 \end{bmatrix}$	$\begin{bmatrix} k & 1 \\ 1 & 0 \end{bmatrix}$	$w_1 < w_2^*$	$\begin{pmatrix} k \\ 1 \end{pmatrix}$		$\begin{pmatrix} 1 \\ 0 \end{pmatrix}$	
$D$	$\begin{bmatrix} 1 & 1 \\ 1/d & d \end{bmatrix}$	$\begin{bmatrix} d & 1 \\ 1 & d \end{bmatrix}$		$\begin{pmatrix} d \\ 1 \end{pmatrix}$		$\begin{pmatrix} 1 \\ d \end{pmatrix}$	
$E$	$\begin{bmatrix} 1 & 1 \\ \infty & k \end{bmatrix}$	$\begin{bmatrix} 0 & 1 \\ 1 & k \end{bmatrix}$	$w_1 > w_2^*$ 	$\begin{pmatrix} 0 \\ 1 \end{pmatrix}$		$\begin{pmatrix} 1 \\ k \end{pmatrix}$	

\* Здесь  $w_1, w_2, h_1, h_2$  – ширины и высоты над землей 1-й и 2-й линий соответственно в СЛ с однородным диэлектриком;  $d = (1 - \sqrt{1 - k^2})/k$ ;  $1/d = (1 + \sqrt{1 - k^2})/k$ .

Для численной оценки элементов матрицы  $U_m$  модальных напряжений ( $R_c R_\pi$ ) в импедансно-симметричных СЛ ( $n = 1$ ) приведем численные значения

этих напряжений в зависимости от коэффициента связи  $k$  в пяти особых точках (табл. 5).

Таблица 5. Численные значения модальных напряжений в зависимости от коэффициента связи в импедансно-симметричных конструкциях СЛ ( $n = 1$ ).

Коэффициент связи $k$	Значения модальных напряжений ( $R_c R_\pi$ ) в пяти особых точках				
	$A$	$B$	$C$	$D$	$E$
0,1	(0,1 $-\infty$ )	(1 -1)	(10 0)	(19,9 0,05)	( $\infty$ 0,1)
1/3	(1/3 $-\infty$ )	(1 -1)	(3 0)	(5,83 0,17)	( $\infty$ 1/3)
0,5	(0,5 $-\infty$ )	(1 -1)	(2 0)	(3,73 0,27)	( $\infty$ 0,5)
0,73	(0,73 $-\infty$ )	(1 -1)	(1,37 0)	(2,31 0,43)	( $\infty$ 0,73)
0,8	(0,8 $-\infty$ )	(1 -1)	(1,25 0)	(2 0,5)	( $\infty$ 0,8)

Из анализа матрицы  $\mathbf{U}_m$  (см. табл. 4 и 5) для СЛИС ( $n = 1$ ) с произвольным диэлектриком следует, что если СЛ имеют межлинейную симметрию конструкции (здесь конгруэнтны  $R_c = 1$ ), то модальные напряжения  $\mathbf{U}_m$  не зависят от коэффициента связи  $k$ . С другой стороны, для СЛИС даже с однородным диэлектриком в случае межлинейной асимметрии конструкции, напряжения  $\mathbf{U}_m$  зависят от коэффициента связи  $k$ .

## 6. Модальные импедансы СЛ

Рассмотрим соотношения для синтеза модальных импедансов СЛ  $Z_{c1}$ ,  $Z_{\pi1}$ ,  $Z_{c2}$ ,  $Z_{\pi2}$  предложенных В.К. Трипази (V.K.Tripathi) [10], которые могут принимать даже отрицательные значения [13] вследствие зависимости от модальных напряжений  $R_c$  и  $R_\pi$ . Задавшись значениями исходных параметров  $Z_0$ ,  $R_c$ ,  $R_\pi$ ,  $m_0$ , ставим задачу синтезировать четыре собственных модальных импеданса  $Z_{c1}$ ,  $Z_{\pi1}$ ,  $Z_{c2}$ ,  $Z_{\pi2}$ , для чего запишем исходные, содержащие межлинейные и межмодальные импедансные соотношения, а также выражения для характеристического импеданса [10]

$$\begin{cases} \frac{Z_{c2}}{Z_{c1}} = \frac{Z_{\pi2}}{Z_{\pi1}} = -R_c R_\pi; \\ \frac{Z_{c1}}{Z_{\pi1}} = \frac{Z_{c2}}{Z_{\pi2}} = m_0; \\ Z_{c1} Z_{\pi2} = Z_{c2} Z_{\pi1} = Z_0^2. \end{cases} \quad (30)$$

Из этой системы сформируем систему из двух уравнений с двумя неизвестными  $Z_{c1}$  и  $Z_{\pi1}$

$$\begin{cases} Z_{c1} Z_{\pi1} = Z_0^2 / (-R_c R_\pi); \\ Z_{c1} / Z_{\pi1} = m_0, \end{cases} \quad (31)$$

из которой находим решение вначале для  $Z_{c1}$  и  $Z_{\pi1}$ , а потом и для оставшихся  $Z_{c2}$  и  $Z_{\pi2}$

$$\begin{cases} Z_{c1} = \text{sign}(m_0) Z_0 \sqrt{m_0 / (-R_c R_\pi)}; \\ Z_{\pi1} = Z_{c1} / m_0; \end{cases} \quad \begin{cases} Z_{c2} = -R_c R_\pi Z_{c1}; \\ Z_{\pi2} = -R_c R_\pi Z_{\pi1}. \end{cases} \quad (32)$$

В развернутом виде полное решение (32) можно переписать так

$$\begin{cases} Z_{c1} = \text{sign}(m_0) Z_0 \sqrt{\frac{m_0}{-R_c R_\pi}}; \\ Z_{\pi1} = \frac{\text{sign}(m_0) Z_0}{\sqrt{m_0 (-R_c R_\pi)}}; \end{cases} \quad \begin{cases} Z_{c2} = \text{sign}(m_0) Z_0 \sqrt{m_0 (-R_c R_\pi)}; \\ Z_{\pi2} = \text{sign}(m_0) Z_0 \sqrt{\frac{-R_c R_\pi}{m_0}}, \end{cases} \quad (33)$$

где  $(-R_c R_\pi) = \frac{kR_c - n}{kR_c^{-1} - n^{-1}}$ ;  $m_0 = \frac{1 - k^2}{1 + k^2 - k(n/R_c + R_c/n)}$ .

Итак, задача нахождения четырех собственных модальных импедансов  $Z_{c1}$ ,  $Z_{\pi1}$ ,  $Z_{c2}$ ,  $Z_{\pi2}$  из четырех модальных параметров  $Z_0$ ,  $R_c$ ,  $R_\pi$ ,  $m_0$ , здесь полностью решена (33). Учитывая, что найденные импедансы взаимозависимы, а независимых там только три, то для их поиска достаточно знать лишь три исходных параметра  $Z_0$ ,  $(-R_c R_\pi)$  и  $m_0$ , при этом два последних в свою очередь зависят от базовых исходных  $n$ ,  $k$ ,  $R_c$ .

Дополнительно введем в рассмотрение еще два новых ранее неисследованных взаимных модальных импеданса  $Z_{\pi12}$ ,  $Z_{cm}$ , характеризующих межлинейную связь. Учитывая (30) и формулу произведения  $Z_0^2 = Z_{cm} Z_{\pi12}$ ,

определим взаимные противофазный  $Z_{\pi 12}$  и синфазный  $Z_{cm}$  импедансы, соответственно, следующим образом

$$Z_{\pi 12} = \frac{Z_0^2 - Z_{\pi 1} Z_{\pi 2}}{Z_{\pi 1} + Z_{\pi 2}} = Z_0 \frac{\text{sign}(m_0)(m_0^{1/2} - m_0^{-1/2})}{(-R_c R_\pi)^{1/2} + (-R_c R_\pi)^{-1/2}}; \quad (34)$$

$$Z_{cm} = \frac{Z_0^2}{Z_{\pi 12}} = Z_0 \frac{(-R_c R_\pi)^{1/2} + (-R_c R_\pi)^{-1/2}}{\text{sign}(m_0)(m_0^{1/2} - m_0^{-1/2})}. \quad (35)$$

Они дополняют набор известных модальных параметров, характеризующих СЛ. Общая схема соотношений модально-импедансных параметров СЛ показана на рис. 10.

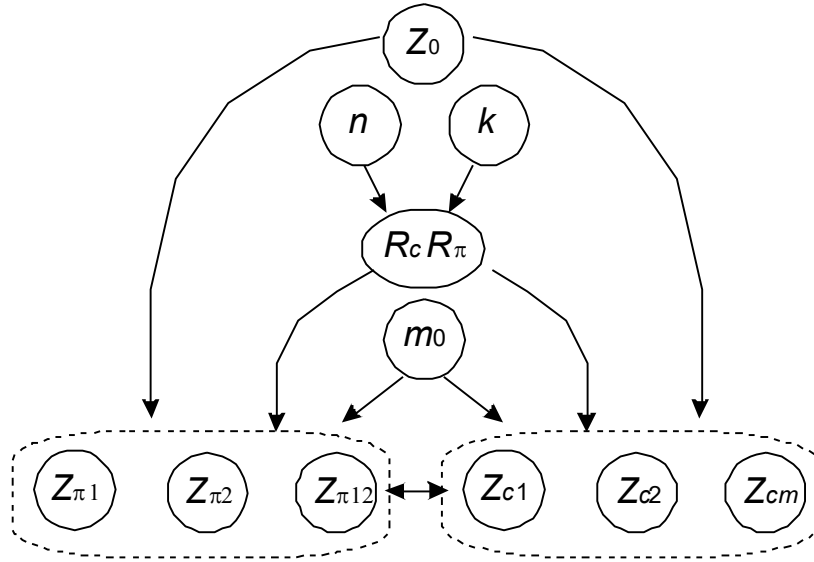


Рис. 10. Общая схема синтеза модальных импедансов СЛ.

Запишем еще соотношения, позволяющие вернуться обратно к коэффициентам трансформации  $n$  и связи  $k$ , а также к их произведению и отношению при известных модальных напряжениях  $R_c$ ,  $R_\pi$  и межмодальном импедансном отношении  $m_0 = Z_{c2}/(-R_c R_\pi Z_{\pi 1})$

$$\begin{cases} n = \sqrt{\frac{R_\pi - m_0 R_c}{R_\pi^{-1} - m_0 R_c^{-1}}}; \\ k = \frac{|1 - m_0|}{\sqrt{1 + m_0^2 - m_0 (R_\pi/R_c + R_c/R_\pi)}}. \end{cases} \quad (36)$$

$$nk = \frac{1 - m_0}{R_\pi^{-1} - m_0 R_c^{-1}}; \quad \frac{n}{k} = \frac{R_\pi - m_0 R_c}{1 - m_0}. \quad (37)$$

Важно отметить, что модальные импедансы зависят как от характеристического импеданса  $Z_0$ , коэффициентов трансформации  $n$  и связи  $k$ , так и от модальных напряжений ( $R_c R_\pi$ ); а превышение синфазным напряжением уровня  $R_c > n/k$  ведет к отрицательным значениям двух из четырех модальных импедансов [13].

## 7. Терминальные (оконечные) импедансы СЛ

Выше было отмечено, что некоторые модальные импедансы согласно Трипази [10] в ряде случаев могут принимать отрицательные значения, что затрудняет толкование их физического смысла. Однако в особом конгруэнтном случае ( $R_c = 1$ ), предложенном Специале [12], когда все модальные импедансы только с положительными знаками, им можно дать однозначную физическую интерпретацию в качестве терминальных (оконечных) импедансов, как у Маркса [9]. Для выделения такого отличия, введем модификацию обозначений, заключающуюся прежде всего в обратном порядке следования буквенно-цифровых индексов. Итак, собственные  $Z_{c1}$ ,  $Z_{c2}$ ,  $Z_{\pi1}$ ,  $Z_{\pi2}$  и взаимные  $Z_{cm}$ ,  $Z_{\pi m}$  модальные импедансы в конгруэнтном случае ( $R_c = 1$ ) «превращаются» в следующие терминальные импедансы [17]:  $Z_{1c}$ ,  $Z_{2c}$ ,  $Z_{1\pi}$ ,  $Z_{2\pi}$ ,  $Z_m$ ,  $Z_{12}$

$$\begin{cases} Z_{1c} = Z_{c1}|_{R_c=1}; \\ Z_{2c} = Z_{c2}|_{R_c=1}; \\ Z_m = Z_{cm}|_{R_c=1}; \end{cases} \begin{cases} Z_{1\pi} = Z_{\pi1}|_{R_c=1}; \\ Z_{2\pi} = Z_{\pi2}|_{R_c=1}; \\ Z_{12} = Z_{\pi m}|_{R_c=1}. \end{cases} \quad (38)$$

Равенство модальных и терминальных импедансов (конгруэнтность) СЛ –  $Z_{c1} = Z_{1c}$ ;  $Z_{\pi1} = Z_{1\pi}$ ;  $Z_{c2} = Z_{2c}$ ;  $Z_{\pi2} = Z_{2\pi}$  – характеризует соразмерность составляющих как нормальных волн (электрической и магнитной), так и распределенных параметров линий передачи (емкостных и индуктивных).

Элементы с номиналами терминальных импедансов образуют две физически реализуемые П- и Т-образные резистивные цепи, которые эквивалентны полубесконечному отрезку связанных линий и функционируют

в качестве окончательных согласованных поглощающих нагрузок СЛ (рис. 11, а, б) [9], [17].

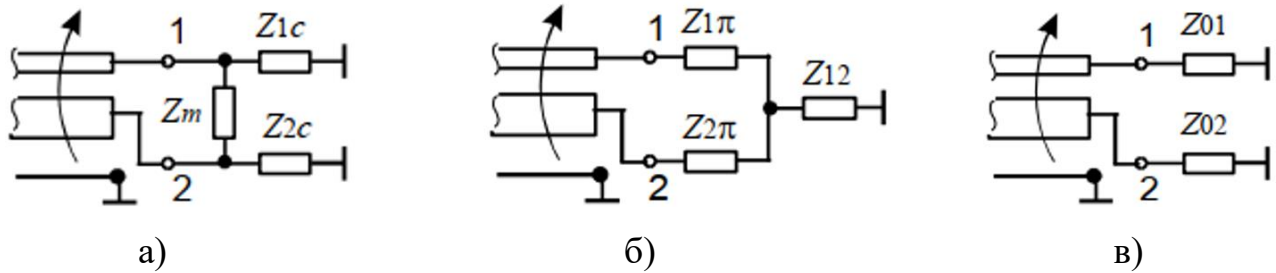


Рис. 11. Полубесконечный отрезок несимметричных СЛ, нагруженный на свои эквивалентные схемы в виде  $\Pi$ -образной (а) и  $T$ -образной (б) резистивных цепей, а также – на пару отдельных резисторов (в).

Кроме того, значения элементов  $T$ - и  $\Pi$ -образной эквивалентных схем (см. рис. 11) согласно Марксу [9] определяются значениями элементов матриц характеристических сопротивлений  $Z$  и проводимостей  $Y$  СЛ, которые здесь выражаются через характеристический импеданс  $Z_0$ , коэффициенты трансформации  $n$  и связи  $k$

$$\begin{cases} Z_{1c} = (Y_{11} + Y_{12})^{-1} = Z_0 \sqrt{1 - k^2} / (n - k); \\ Z_{2c} = (Y_{22} + Y_{12})^{-1} = Z_0 \sqrt{1 - k^2} / (n^{-1} - k); \\ Z_m = -Y_{12}^{-1} = Z_0 \sqrt{1 - k^2} / k. \end{cases} \quad (39)$$

$$\begin{cases} Z_{1\pi} = Z_{11} - Z_{12} = Z_0 (n^{-1} - k) / \sqrt{1 - k^2}; \\ Z_{2\pi} = Z_{22} - Z_{12} = Z_0 (n - k) / \sqrt{1 - k^2}; \\ Z_{12} = Z_0 k / \sqrt{1 - k^2}; \end{cases} \quad (40)$$

При этом особую важность для практики имеет схема замещения в виде пары отдельных нагрузочных резисторов (см. рис. 11, в), номиналы которых рассчитываются по следующим формулам:  $Z_{01} = Z_0/n$ ;  $Z_{02} = Z_0 n$ . Она идеально нагружает и согласует СЛ с синхронными волнами на центральной частоте рабочего диапазона.

Общая схема взаимосвязи троек терминальных и других импедансных параметров СЛ показана на рис. 12.



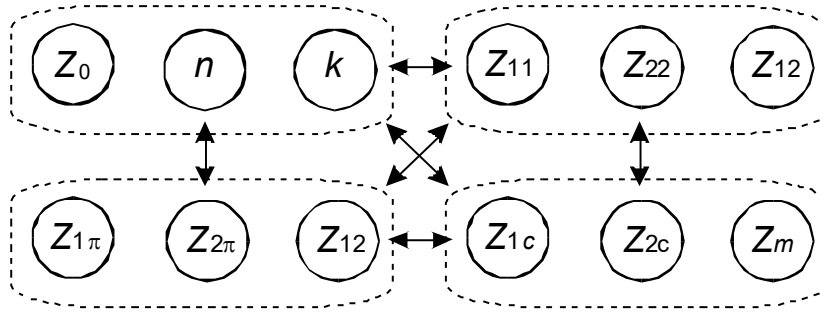


Рис. 12. Общая схема взаимосвязи импедансных параметров СЛ: характеристический импеданс с коэффициентами трансформации и связи; элементы импедансной матрицы  $Z$ ; терминальные импедансы Т- и П-образных схем соответственно.

Дополнительные соотношения между терминальными импедансами [9], [12] можно записать так

$$\begin{cases} R_z = \frac{Z_{2c}}{Z_{1c}} = \frac{Z_{2\pi}}{Z_{1\pi}} = \frac{n-k}{n^{-1}-k}; \\ \frac{Z_{1c}}{Z_{1\pi}} = \frac{Z_{2c}}{Z_{2\pi}} = \frac{1-k^2}{(n-k)(n^{-1}-k)} = \frac{1-k^2}{1+k^2-k(n+n^{-1})}; \\ Z_0^2 = Z_{1c}Z_{2\pi} = Z_{2c}Z_{1\pi} = Z_{12}Z_m = Z_cZ_\pi, \end{cases} \quad (41)$$

в которых первая формула определяет коэффициент импедансной асимметрии  $R_z$ . Кроме того, здесь также выполняются известные импедансные соотношения

$$\begin{cases} Z_c = Z_0 \sqrt{(1+k)/(1-k)}; \\ Z_\pi = Z_0 \sqrt{(1-k)/(1+k)}. \end{cases} \quad (42)$$

Итак, только в конгруэнтном случае ( $R_c = 1$ ) модальные импедансы, определяемые по Трипази [10], численно совпадают с соответствующими терминальными импедансами, определяемыми по Марксу [9]. При этом терминальные импедансы не зависят от синфазного модального напряжения  $R_c$ , а зависят только от характеристического импеданса  $Z_0$ , коэффициентов трансформации  $n$  и связи  $k$ ; их значения всегда положительные.

## 8. Влияние синфазного модального напряжения на модальные импедансы, коэффициенты емкостной и индуктивной связи СЛ

Если конструкции СЛ имеют однородное или специально подобранное неоднородное диэлектрическое заполнение, в которых нормальные (синфазная и противофазная) волны имеют равные скорости и являются синхронными [7], то это влечет полную уравновешенность индуктивной, емкостной и импедансной связи  $k_L = k_C = k$ . С другой стороны, существуют уникальные структуры СЛ с неоднородным диэлектриком, где скорости асинхронных нормальных волн не равны друг другу, но при этом достигается уравновешенность индуктивной и емкостной связи  $k_L = k_C$  [13]. Такие структуры по импедансу могут быть как симметричными, так и несимметричными, а по конструктивному исполнению – только неконгруэнтными, т.е. с особым синфазным модальным напряжением не равным единице  $R_c \neq 1$ .

Теперь рассмотрим пять особых значений синфазного модального напряжения  $R_c$  и его общее влияние на соответствующие модальные импедансы и коэффициенты емкостной и индуктивной связи СЛ.

А) Если синфазное модальное напряжение принимает минимальное значение  $R_c = nk$ , то все модальные импедансы положительны, а два из них  $Z_{\pi 1}$ ,  $Z_{c2}$  стремятся – один к нулевому  $Z_{\pi 1} \rightarrow 0$ , другой к бесконечному  $Z_{c2} \rightarrow \infty$  пределам, но их среднее геометрическое остается неизменным и равным характеристическому импедансу  $Z_0 = \sqrt{Z_{\pi 1} Z_{c2}}$ . Межлинейные импедансные отношения равны отрицательному произведению модальных напряжений  $(-R_c R_\pi)$ , в котором  $R_\pi \rightarrow -\infty$

$$\frac{Z_{c2}}{Z_{c1}} = \frac{Z_{\pi 2}}{Z_{\pi 1}} = \frac{Z_{(c,\pi)2}}{Z_{(c,\pi)1}} = -R_c R_\pi \rightarrow \infty. \quad (43)$$

Коэффициенты индуктивной и емкостной связи выражаются так

$$(k_L \quad k_C)_A = \left\{ \left[ 1 + (k^{-2} - 1)m \right]^{-1/2} \quad \left[ 1 + (k^{-2} - 1)m^{-1} \right]^{-1/2} \right\}. \quad (44)$$

В) Если  $R_c = n$ , то все модальные импедансы положительны, межлинейное импедансное отношение равно квадрату коэффициента трансформации

$$\frac{Z_{c2}}{Z_{c1}} = \frac{Z_{\pi2}}{Z_{\pi1}} = \frac{Z_{(c,\pi)2}}{Z_{(c,\pi)1}} = -R_c R_\pi = n^2, \quad (45)$$

а межмодальное импедансное отношение зависит только от коэффициента СВЯЗИ

$$m_0|_{R_c=n} = \frac{Z_{c1}}{Z_{\pi1}} = \frac{Z_{c2}}{Z_{\pi2}} = \frac{Z_{c(1,2)}}{Z_{\pi(1,2)}} = \frac{Z_c}{Z_\pi} = \frac{1+k}{1-k}, \quad (46)$$

и в случае симметрии  $n = 1$  становится равным максимально достижимому отношению скоростей нормальных волн

$$m_{\max} = m_0|_{R_c=n=1}. \quad (47)$$

При этом коэффициенты индуктивной и емкостной связи записываются

$$(k_L \quad k_C)_B = \begin{pmatrix} \frac{m_0 - m}{m_0 + m} & \frac{m_0 - m^{-1}}{m_0 + m^{-1}} \end{pmatrix}. \quad (48)$$

С) Если  $R_c = n/k$ , то все модальные импедансы положительны, при этом два из них  $Z_{c1}, Z_{\pi2}$  стремятся – один к бесконечному  $Z_{c1} \rightarrow \infty$ , другой к нулевому  $Z_{\pi2} \rightarrow 0$  пределам, а их среднее геометрическое остается неизменным и равным характеристическому импедансу  $Z_0 = \sqrt{Z_{c1} Z_{\pi2}}$ . Межлинейные импедансные отношения, равные произведению модальных напряжений ( $-R_c R_\pi$ ), при нулевом сомножителе  $R_\pi = 0$  обнуляются

$$\frac{Z_{c2}}{Z_{c1}} = \frac{Z_{\pi2}}{Z_{\pi1}} = \frac{Z_{(c,\pi)2}}{Z_{(c,\pi)1}} = -R_c R_\pi = 0. \quad (49)$$

Коэффициенты индуктивной и емкостной связи такие же как в точке А

$$(k_L \quad k_C)_C = (k_L \quad k_C)_A = \left\{ \left[ 1 + (k^{-2} - 1)m \right]^{-1/2} \quad \left[ 1 + (k^{-2} - 1)m^{-1} \right]^{-1/2} \right\}. \quad (50)$$

Д) Если синфазное и противофазное модальные напряжения принимают такие положительные значения  $R_{c,\pi} = n \left( 1 \pm \sqrt{1 - k^2} \right) / k = nk / \left( 1 \mp \sqrt{1 - k^2} \right)$ , то два

модальных импеданса  $Z_{\pi 1}$ ,  $Z_{c 2}$  положительны, а два других  $Z_{c 1}$ ,  $Z_{\pi 2}$  отрицательны, при этом межмодальные импедансные отношения для каждой из линий равны минус единице

$$m_0 = \frac{Z_{c 1}}{Z_{\pi 1}} = \frac{Z_{c 2}}{Z_{\pi 2}} = \frac{Z_{c(1,2)}}{Z_{\pi(1,2)}} = -1. \quad (51)$$

Кроме того, и межлинейные отношения одно- и разно-модальных импедансов равны квадрату коэффициента трансформации со знаком минус и плюс соответственно

$$\frac{Z_{c 2}}{Z_{c 1}} = \frac{Z_{\pi 2}}{Z_{\pi 1}} = \frac{Z_{(c,\pi)2}}{Z_{(c,\pi)1}} = -R_c R_\pi = -n^2; \quad (52)$$

$$\frac{Z_{\pi 2}}{Z_{c 1}} = \frac{Z_{c 2}}{Z_{\pi 1}} = \frac{Z_{(c,\pi)2}}{Z_{(\pi,c)1}} = R_c R_\pi = n^2. \quad (53)$$

При этом выполняется еще одно равенство  $n^2 = Z_2/Z_1$ , где  $Z_1 = \sqrt{L_{11}/C_{11}}$  и  $Z_2 = \sqrt{L_{22}/C_{22}}$ . Коэффициенты индуктивной и емкостной связи становятся равными между собой  $k_L = k_C$  и записываются следующим образом

$$(k_L \quad k_C)_D = \left\{ \left[ 1 + \frac{4(k^{-2} - 1)m}{(1+m)^2} \right]^{-1/2} \quad \left[ 1 + \frac{4(k^{-2} - 1)m^{-1}}{(1+m^{-1})^2} \right]^{-1/2} \right\}. \quad (54)$$

Их равенство говорит об уравновешенности индуктивной и емкостной связи даже при различии скоростей нормальных волн в неоднородном диэлектрике. На это свойство, весьма важное при создании противонаправленных ответвителей с высокой развязкой, впервые обратил внимание К. Саксе (K. Sachse) [13].

Е) Если синфазное модальное напряжение стремится к бесконечности  $R_c \rightarrow \infty$ , то два модальных импеданса  $Z_{\pi 1}$ ,  $Z_{c 2}$  положительны, а два других  $Z_{c 1}$ ,  $Z_{\pi 2}$  отрицательны и стремятся – один к минус нулевому  $Z_{c 1} \rightarrow -0$ , другой к минус бесконечному  $Z_{\pi 2} \rightarrow -\infty$  пределам, а их среднее геометрическое остается неизменным и равным характеристическому импедансу

$Z_0 = \sqrt{Z_{c1}Z_{\pi2}}$ . Отсюда, межлинейные импедансные отношения, равные отрицательному произведению модальных напряжений, стремятся к минус бесконечности

$$\frac{Z_{c2}}{Z_{c1}} = \frac{Z_{\pi2}}{Z_{\pi1}} = \frac{Z_{(c,\pi)2}}{Z_{(c,\pi)1}} = -R_c R_\pi \rightarrow -\infty. \quad (55)$$

При этом коэффициенты индуктивной и емкостной связи меняются местами в сравнении с точкой *A* и записываются так

$$(k_L \ k_C)_E = (k_C \ k_L)_A = \left\{ \left[ 1 + (k^{-2} - 1)m^{-1} \right]^{-1/2} \left[ 1 + (k^{-2} - 1)m \right]^{-1/2} \right\}. \quad (56)$$

Знаки при величинах модальных импедансов, а также формулы для коэффициентов емкостной и индуктивной связи СЛ в зависимости от синфазного модального напряжения  $R_c$  в пяти особых точках приводятся в табл. 6

Таблица 6. Модальные импедансы, коэффициенты индуктивной и емкостной связи СЛ в пяти особых точках.

Точка	Синфазное модальное напряжение $R_c$	Знаки и предельные значения модальных импедансов				Коэффициенты индуктивной и емкостной связи СЛ	
		sign( $Z_{c1}$ )	sign( $Z_{c2}$ )	sign( $Z_{\pi1}$ )	sign( $Z_{\pi2}$ )	$k_L$	$k_C$
<i>A</i>	$nk$	+	$+\infty$	0	+	$\left[ 1 + (k^{-2} - 1)m \right]^{-1/2}$	$\left[ 1 + (k^{-2} - 1)m^{-1} \right]^{-1/2}$
<i>B</i>	$n$	+	+	+	+	$\frac{m_0 - m}{m_0 + m}$	$\frac{m_0 - m^{-1}}{m_0 + m^{-1}}$
<i>C</i>	$n/k$	$+\infty$	+	+	0	$\left[ 1 + (k^{-2} - 1)m \right]^{-1/2}$	$\left[ 1 + (k^{-2} - 1)m^{-1} \right]^{-1/2}$
<i>D</i>	$\frac{n}{k} \left( 1 + \sqrt{1 - k^2} \right)$	-	+	+	-	$\left[ 1 + \frac{4(k^{-2} - 1)m^{+1}}{(1 + m^{+1})^2} \right]^{-1/2}$	
<i>E</i>	$\infty$	0	+	+	$-\infty$	$\left[ 1 + (k^{-2} - 1)m^{-1} \right]^{-1/2}$	$\left[ 1 + (k^{-2} - 1)m \right]^{-1/2}$

Здесь  $m_0 = (1+k)/(1-k)$ ;  $m = v_c/v_\pi$ .

Для иллюстрации представленных соотношений, графики четырех модальных импедансов СЛ  $Z_{c1}$ ,  $Z_{\pi1}$ ,  $Z_{c2}$ ,  $Z_{\pi2}$  при параметрах  $Z_0 = 50$  Ом;  $n = 0,8$ ;  $k = 0,7$  в зависимости от синфазного напряжения  $R_c$  с отмеченными особыми уровнями в точках *A*, *B*, *C*, *D* ( $R_{ca}$ ,  $R_{cb}$ ,  $R_{cc}$ ,  $R_{cd}$ ) приводятся на рис. 13.

Здесь синфазное напряжение  $R_c$  в точке  $E$  устремляется в бесконечность  $R_{ce} \rightarrow \infty$ , а сама точка  $E$  уходит вправо за пределы графического поля, поэтому не видна.

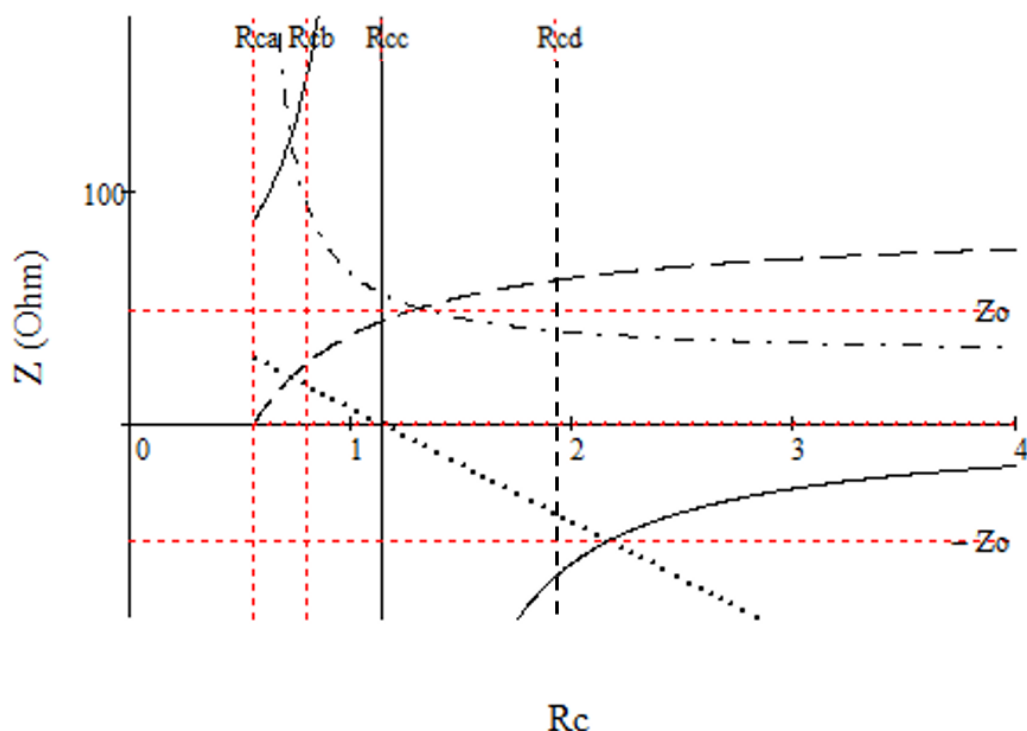


Рис. 13. Четыре модальных импеданса  $Z_{c1}$  (сплошная);  $Z_{\pi 1}$  (штриховая);  $Z_{c2}$  (штрих-пунктирная);  $Z_{\pi 2}$  (пунктирная) в зависимости от синфазного модального напряжения  $R_c$  ( $Z_0 = 50$  Ом;  $n = 0,8$ ;  $k = 0,7$ ) с обозначением его уровней в точках  $A, B, C, D$ ; точка  $E$  находится справа за пределами поля.

Из приведенных соотношений для коэффициентов емкостной и индуктивной связи (см. табл. 6) следует, что они зависят от следующих параметров: коэффициента импедансной связи  $k$ , отношения скоростей нормальных волн  $m$  (ограниченного в том числе коэффициентом трансформации  $n$ ) и синфазного напряжения  $R_c$ . Иллюстративные графики коэффициентов емкостной и индуктивной связи СЛ с параметрами  $n = 0,96$ ;  $k = 0,7$ ;  $m = 2$  в зависимости от синфазного модального напряжения  $R_c$  приводятся на рис. 14.

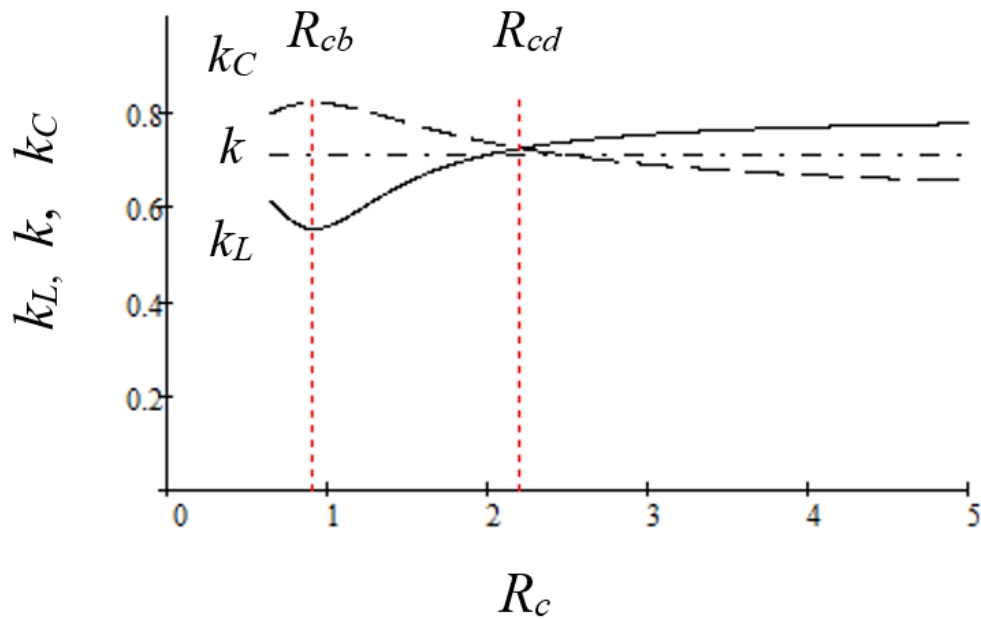


Рис. 14. Коэффициенты емкостной  $k_C$  и индуктивной связи  $k_L$  СЛ в зависимости от синфазного напряжения  $R_c$  ( $n = 0,96$ ;  $k = 0,7$ ;  $m = 2$ ).

Из этих графиков (см. рис.14) видно, что величина импедансной связи  $k$  не зависит от модального напряжения  $R_c$  и есть среднее между индуктивной и емкостной связями  $\min(k_L, k_C) < k < \max(k_L, k_C)$ . При этом в точке  $B$  кривые связи имеют экстремумы и максимально расходятся. С другой стороны, в точке  $D$  кривые, сблизившись, пересекаются, а индуктивная и емкостная связи уравниваются  $k_L = k_C$ , даже при различных скоростях нормальных волн в неоднородном диэлектрике  $v_c \neq v_\pi$  как в симметричных, так и в несимметричных СЛ. В малой окрестности точки  $D$  индуктивно-емкостные связи немного превышают импедансную ( $k_L \approx k_C$ )  $> k$ . Такая необычная уравнишенность (в точке  $D$ ) индуктивно-емкостной связи в СЛ с неоднородным диэлектриком позволяет при идеальном согласовании получать уникальную неквадратурную разность фаз в выходных портах противонаправленного ответвителя.

В качестве примера приведем синтезированные модальные и погонные параметры необычных СЛ с характеристическим импедансом  $Z_0 = 50$  Ом и связью  $k = 0,707$ , которые структурно неодинаковы ( $L_{11} \neq L_{22}$ ,  $C_{11} \neq C_{22}$ ), но по импедансу симметричны ( $Z_{11} = Z_{22}$ ;  $n = 1$ ), имеют асинхронность с двукратным отношением скоростей нормальных волн ( $m = v_c/v_\pi = 2$ ) и, в то же время, уравнишенные индуктивную и емкостную связи ( $k_L = k_C = 0,727$ )

$$\mathbf{Z} = \begin{bmatrix} 70,7 & 50 \\ 50 & 70,7 \end{bmatrix} \text{ Ом}; \mathbf{U}_m = \begin{bmatrix} 1 & 1 \\ 2,41 & 0,413 \end{bmatrix}; \boldsymbol{\varepsilon}_{rm} = \begin{pmatrix} 2 \\ 8 \end{pmatrix};$$

$$\mathbf{L} = \begin{bmatrix} 0,6179 & 0,3533 \\ 0,3533 & 0,3821 \end{bmatrix} \text{ мкГн/м}; \mathbf{C} = \begin{bmatrix} 247,4 & -141,6 \\ -141,6 & 153 \end{bmatrix} \text{ пФ/м}.$$

Этот согласованный с 50-омными нагрузками отрезок СЛ длиной 14 мм на частоте 2,5 ГГц обеспечивает межлинейную связь 3 дБ (т.е. это мост), но разность фаз в выходных диагональных портах этого мостового противонаправленного ответвителя составляет 120 град. (т.е. не 90 град., не квадратура). Можно предположить, что для его реализации потребуется еще и магнитное заполнение. Такой 120-град. мост может быть интересен при трехточечном возбуждении микрополоскового излучателя антенны круговой поляризации.

## **9. Случаи импедансной псевдо-симметрии и псевдо-несвязанности линий. Значения модальных напряжений и других параметров**

Проанализируем дополнительные интересные случаи импедансной «псевдо-симметрии» и «псевдо-несвязанности» СЛ в зависимости от значений модальных напряжений, определяемых коэффициентами трансформации и связи. Первая пара случаев характеризуется тем, что даже при отсутствии симметрии в одинаковых режимах возбуждения СЛ имеют равные по модулю импедансы 1-й и 2-й линий. Вторая пара случаев характеризуется тем, что даже при наличии связи соответствующие линии имеют равные синфазный и противофазный импедансы.

- 1) Вначале рассмотрим пару случаев несимметричных структур ( $n \neq 1$ ), обладающих свойством межлинейной импедансной «псевдо-симметрии», в которых произведение модальных напряжений равно  $R_c R_\pi = \pm 1$ . В первом случае отрицательного произведения  $R_c R_\pi = -1$ , синфазное и противофазное модальные напряжения принимают значения



$$R_{cbb} = \frac{n - n^{-1}}{2k} + \sqrt{\left(\frac{n - n^{-1}}{2k}\right)^2 + 1}; R_{\pi bb} = -1/R_{cbb}, \quad (57)$$

характеризующие «псевдо-симметрию», при которой одномодальные импедансы первой и второй линий равны между собой  $Z_{c1} = Z_{c2}; Z_{\pi1} = Z_{\pi2}$ , т.е. межлинейные импедансные отношения при любом типе возбуждения равны единице  $\frac{Z_{c2}}{Z_{c1}} = \frac{Z_{\pi2}}{Z_{\pi1}} = 1$ , и тем не менее структура все равно несимметрична, так как  $n \neq 1$ . Однако, если обеспечить реальную симметрию  $n = 1$ , то модальные напряжения достигнут противоположных значений  $R_{c,\pi} = \pm n = \pm 1$ , произведение которых равно отрицательному квадрату коэффициента трансформации  $R_c R_\pi = -n^2 = -1$  (это особое значение  $R_c$  в точке В; см. выше). При этом сохраняется равенство межлинейных импедансных отношений

$$\frac{Z_{c2}}{Z_{c1}} = \frac{Z_{\pi2}}{Z_{\pi1}} = n^2 = 1. \quad (58)$$

- 2) Во втором случае положительного произведения  $R_c R_\pi = 1$  предполагается, что одномодальные импедансы первой и второй линий противоположны  $Z_{c1} = -Z_{c2}; Z_{\pi1} = -Z_{\pi2}$ , т.е. межлинейные импедансные отношения равны минус единице  $\frac{Z_{c2}}{Z_{c1}} = \frac{Z_{\pi2}}{Z_{\pi1}} = -1$ , и этому условию «противоположной псевдо-симметрии» удовлетворяют следующие положительные значения модальных напряжений

$$R_{cdd} = \frac{n + n^{-1}}{2k} + \sqrt{\left(\frac{n + n^{-1}}{2k}\right)^2 - 1}; R_{\pi dd} = 1/R_{cdd}, \quad (59)$$

однако структура при этом опять остается несимметричной, так как  $n \neq 1$ . Но если ее довести до реальной симметрии  $n = 1$ , то возникнут такие модальные напряжения  $R_{c,\pi} = (n/k)(1 \pm \sqrt{1 - k^2}) = (1 \pm \sqrt{1 - k^2})/k$ , произведение которых станет равно квадрату коэффициента трансформации  $R_{cdd} R_{\pi dd} = n^2 = 1$  (это особое значение  $R_c$  в точке D;

см. выше). При этом выполняются следующие равенства для межмодальных, межлинейных и модально-линейных импедансных отношений

$$\frac{Z_{c1}}{Z_{\pi1}} = \frac{Z_{c2}}{Z_{\pi2}} = m_0 = -1; \quad \frac{Z_{c2}}{Z_{c1}} = \frac{Z_{\pi2}}{Z_{\pi1}} = -n^2 = -1; \quad \frac{Z_{\pi2}}{Z_{c1}} = \frac{Z_{c2}}{Z_{\pi1}} = n^2 = 1, \quad (60)$$

а также в следствие этого

$$Z_{\pi1} = -Z_{\pi2} = Z_{c2} = -Z_{c1} = Z_1 = Z_2 = \sqrt{L_{11}/C_{11}} = \sqrt{L_{22}/C_{22}}.$$

- 3) Теперь, рассмотрим еще пару случаев «псевдо-несвязанных» линий, когда синфазный и противофазный импедансы линий равны друг другу (что является признаком несвязанности линий, если они симметричны), а произведение модальных напряжений таково  $R_c R_\pi = -m_0^{\pm 1}$ . В первом случае  $R_{cn} R_{\pi n} = -Z_{c1}/Z_{\pi1} = -m_0$ , когда два импеданса – синфазный первой и противофазный второй линий – равны отрицательному характеристическому импедансу  $Z_{c1} = Z_{\pi2} = -Z_0$ , тогда синфазное и противофазное модальные напряжения принимают следующие значения

$$(R_c \quad R_\pi)_n = \left( \begin{array}{cc} \frac{n + \sqrt{1-k^2}}{k} & \frac{k}{n^{-1} + \sqrt{1-k^2}} \end{array} \right). \quad (61)$$

Если при этом обеспечить реальную симметрию  $n = 1$ , то их произведение станет равным единице  $R_{cn} R_{\pi n} = n^2 = 1$  (что совпадает с особым значением  $R_c$  в точке D; см. выше).

- 4) Во втором случае  $R_{cp} R_{\pi p} = -Z_{\pi1}/Z_{c1} = -1/m_0$ , когда два импеданса – синфазный 2-й и противофазный 1-й линий – равны положительному характеристическому импедансу  $Z_{c2} = Z_{\pi1} = Z_0$ , тогда синфазное и противофазное модальные напряжения вычисляются следующим образом

$$(R_c \quad R_\pi)_p = \begin{cases} \left( \begin{array}{cc} \frac{k}{n^{-1} - \sqrt{1-k^2}} & \frac{n - \sqrt{1-k^2}}{k} \end{array} \right), & n^{-2} + k^2 > 1; \\ (+\infty \quad 1), & \text{иначе.} \end{cases} \quad (62)$$

Если при этом обеспечить реальную симметрию  $n = 1$ , то их произведение опять станет равным единице  $R_{cp} R_{\pi p} = n^2 = 1$  (что совпадает с особым

значением  $R_c$  в точке D; см. выше), что также эквивалентно предыдущему случаю.

Таким образом, если в структуре СЛ обеспечить реальную симметрию  $n = 1$ , то три последних случая «псевдо-симметрии/несвязанности» по значениям модальных напряжений совпадут и между собой, и с особым случаем в точке D

$$R_{c,\pi}|_{n=1} = \left( \frac{1 \pm \sqrt{1-k^2}}{k} \right)_{dd} = \left( \frac{1 + \sqrt{1-k^2}}{k} \right)_n^{\pm 1} = \left( \frac{k}{1 - \sqrt{1-k^2}} \right)_p^{\pm 1} = \left( \frac{1 \pm \sqrt{1-k^2}}{k} \right)_D = \left( \frac{k}{1 \mp \sqrt{1-k^2}} \right)_D. \quad (63)$$

Для наглядной иллюстрации представленных формул, графики четырех модальных импедансов СЛ –  $Z_{c1}$ ,  $Z_{\pi 1}$ ,  $Z_{c2}$ ,  $Z_{\pi 2}$  в зависимости от синфазного напряжения  $R_c$  показаны на рис. 15, на которых отмечены особые значения  $R_c$  в случаях «псевдо-симметрии» ( $R_{cbb}$ ,  $R_{cdd}$ ) и «псевдо-несвязанности» линий ( $R_{cp}$ ,  $R_{cn}$ ).

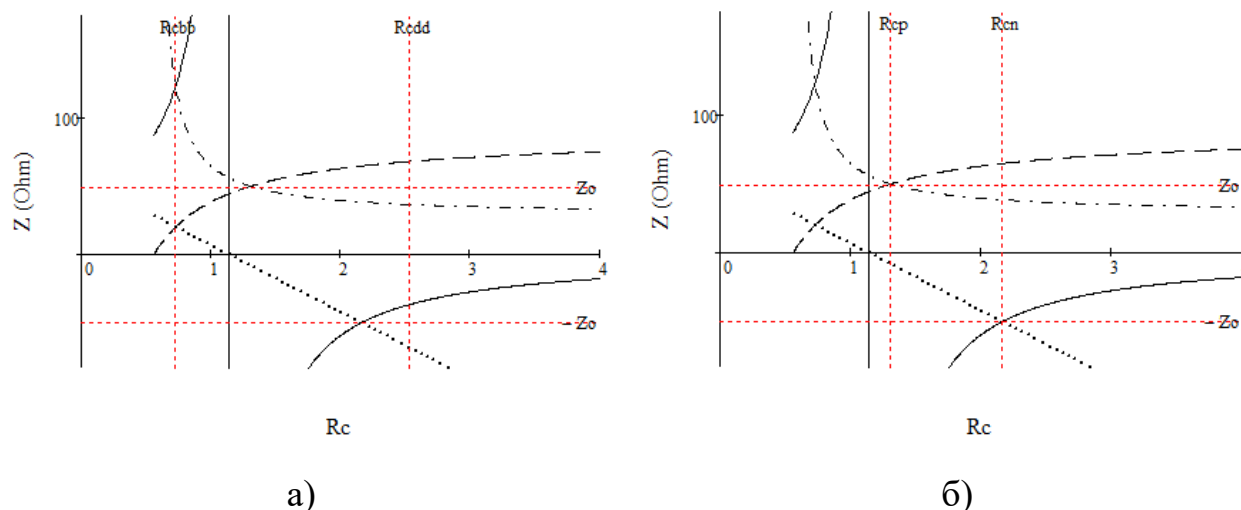


Рис. 15. Зависимости четырех модальных импедансов  $Z_{c1}$  (сплошная);  $Z_{\pi 1}$  (штриховая);  $Z_{c2}$  (штрих-пунктирная);  $Z_{\pi 2}$  (пунктирная) от синфазного модального напряжения  $R_c$  ( $Z_0 = 50$  Ом;  $n = 0,8$ ;  $k = 0,7$ ), которые попарно равны или противоположны при особые значения напряжения  $R_c$ , соответствующих: а) «псевдо-симметрии» ( $R_{cbb}$ ,  $R_{cdd}$ ); б) «псевдо-несвязанности» линий ( $R_{cp}$ ,  $R_{cn}$ ).

Рассмотренные случаи «псевдо-симметрии» и «псевдо-несвязанности» линий в терминах модальных импедансов могут быть полезны при синтезе новых конструкций СЛ с особыми свойствами.

## 10. Синтез погонных параметров СЛ

Для поиска первичных параметров СЛ [9], [10] – матриц погонных индуктивностей  $\mathbf{L}$  и емкостей  $\mathbf{C}$  – возьмем известные матричные соотношения [9], [10], учитывая (7)-(9)

$$\mathbf{L} = \mathbf{U}_m \text{diag}(1/\nu) \mathbf{I}_m^{-1} = \mathbf{U}_m \text{diag}\left(\sqrt{\varepsilon_r}/c\right) \mathbf{U}_m^{-1} \mathbf{Z}; \quad (64)$$

$$\mathbf{C} = \mathbf{I}_m \text{diag}(1/\nu) \mathbf{U}_m^{-1} = \mathbf{Y} \mathbf{U}_m \text{diag}\left(\sqrt{\varepsilon_r}/c\right) \mathbf{U}_m^{-1}, \quad (65)$$

и, выполнив поэлементное умножение, получим следующие формулы для матриц искомых погонных параметров  $\mathbf{L}$  и  $\mathbf{C}$ , выраженных через заданные модальные  $Z_0, n, k, R_c, R_\pi, \varepsilon_{rc}, \varepsilon_{r\pi}$ :

$$\mathbf{L} = \begin{pmatrix} L_{11} & L_{12} \\ L_{21} & L_{22} \end{pmatrix} = \frac{Z_0}{c} \begin{pmatrix} \frac{b}{R_c} \sqrt{\varepsilon_{rc}} - \frac{a}{R_\pi} \sqrt{\varepsilon_{r\pi}} & b\sqrt{\varepsilon_{rc}} - a\sqrt{\varepsilon_{r\pi}} \\ b\sqrt{\varepsilon_{rc}} - a\sqrt{\varepsilon_{r\pi}} & bR_c\sqrt{\varepsilon_{rc}} - aR_\pi\sqrt{\varepsilon_{r\pi}} \end{pmatrix}; \quad (66)$$

$$\mathbf{C} = \begin{pmatrix} C_{11} & -C_{12} \\ -C_{21} & C_{22} \end{pmatrix} = \frac{1}{cZ_0} \begin{pmatrix} -aR_\pi\sqrt{\varepsilon_{rc}} + bR_c\sqrt{\varepsilon_{r\pi}} & a\sqrt{\varepsilon_{rc}} - b\sqrt{\varepsilon_{r\pi}} \\ a\sqrt{\varepsilon_{rc}} - b\sqrt{\varepsilon_{r\pi}} & -\frac{a}{R_\pi}\sqrt{\varepsilon_{rc}} + \frac{b}{R_c}\sqrt{\varepsilon_{r\pi}} \end{pmatrix}, \quad (67)$$

где  $a = \frac{n - kR_c}{d}$ ;  $b = \frac{n - kR_\pi}{d}$ ;  $d = \sqrt{1 - k^2} (R_c - R_\pi)$ ;  $c$  – скорость света в вакууме.

Отсюда формируются коэффициенты индуктивной и емкостной связи [19]

$$(k_L \quad k_C) = \left( \frac{L_{12}}{\sqrt{L_{11}L_{22}}} \quad \frac{|C_{12}|}{\sqrt{C_{11}C_{22}}} \right). \quad (68)$$

Если исходные модальные параметры СЛ заданы правильно с учетом ограничений (1)-(5), то и вычисленные погонные параметры (66)-(67) будут находиться в области допустимых значений, т.е. все частичные емкости и индуктивности, как собственные, так и взаимные (см. рис. 1, б) будут иметь положительные значения.

Для демонстрации возможностей методики представим численные значения модальных и погонных параметров СЛ с 3-дБ связью, реализующих функции мостов различных типов направленности – сонаправленного (СоН),

противо-направленного (ПрН), поперечно-направленного (ПоН); различных фазовых соотношений в выходных портах – квадратурный (90 град.), синфазно-противофазный (0/180 град.); а при асимметрии обладающих еще и свойством трансформации импеданса (табл. 7).

Заметим, что «поперечно-направленный» ответвитель в отечественной литературе изначально обозначался термином «транснаправленный» [1], в котором первая часть слова является калькой с английского – «transdirectional», однако сейчас более понятным и удачным видится предлагаемый обновленный термин – «поперечно-направленный».

Таблица 7. Численные значения модальных и погонных параметров СЛ с 3-дБ связью (мостов).

Модальные, погонные параметры. Импедансы нагрузок	Тип моста на СЛ				
	ПрН 90 град. с трансформ.	СоН 90 град.	СоН 0/180 град.	ПоН 90 град.	ПоН 90 град.с трансформ.
$Z_0$ , Ом	25	70,7	50	50	38,4
$n$	0,74	1	0,578	1	0,848
$k$	0,71	0,333	0,566	0,72	0,79
$R_c$	1	1	1	1	1
$R_\pi$	-0,05	-1	-0,01	-1	-0,15
$\epsilon_{rc}$	3,2	2	9,9	1,1	1,1
$\epsilon_{r\pi}$	3,2	4,5	1,1	9,9	9,9
$m$	1	3/2	1/3	3	3
$Z_{c2}$ , Ом	27	100	35,4	124	61
$Z_{\pi1}$ , Ом	23	50	70,7	20	24
$L_{11}$ , мкГн/м	0,2861	0,4124	0,612	0,3224	0,406
$L_{22}$ , мкГн/м	0,1566	0,4124	0,367	0,3224	0,189
$L_{12}$ , мкГн/м	0,1503	0,0589	0,365	0,1108	0,151
$C_{11}$ , пФ/м	251	94,3	49	274	376
$C_{22}$ , пФ/м	458	94,3	342	274	425
$C_{12}$ , пФ/м	240	47,1	46	246	367
$Z_{01}$ , Ом	34	50	50	50	25
$Z_{02}$ , Ом	19	50	50	50	50

После синтеза погонных параметров осуществляется их физическая реализация в виде технологически доступной конструкции СЛ (полосковая плата, гибридно-пленочная или полупроводниковая монолитная интегральная схема), а далее – их поверочный анализ и расчет S-параметров в диапазоне рабочих частот.

## **Заключение**

Даны основы теории и предложена методика синтеза произвольных несимметричных СЛ с неоднородным диэлектриком, базирующаяся на выборе физически реализуемых модальных параметров, по которым рассчитываются погонные. За основу берутся три импедансных параметра – характеристический импеданс, коэффициенты трансформации и связи (или один взаимный и два собственных импеданса), одно из модальных напряжений (например, синфазное) и пара модальных диэлектрических проницаемостей (или одна из них и их отношение и т.п.). Все исходные параметры, выбранные для синтеза, имеют известные области допустимых значений и ясный физический смысл, что позволяет сразу избавиться от физически нереализуемых решений. Рассмотрены взаимосвязи и интересные особенности основных модальных параметров, включая импедансные и фазовые; для иллюстрации приводятся их графические зависимости и численные примеры. После синтеза погонных параметров предполагается их физическая реализация в виде технологически доступной конструкции СЛ. Результаты могут быть полезны при поиске новых решений СЛ и создании устройств на их основе с уникальными свойствами.

**Финансирование:** Работа выполнена при финансовой поддержке Министерства науки и высшего образования Российской Федерации FEWM-2022-0005.

## Литература

1. Sychev A. N., Struchkov S. M., Rudyi N. Y. A transdirectional coupled-line coupler with a vertical insert //25th Int. Crimean Conf. Microwave & Telecommunication Technology” (CriMiCo’2015). – 2015. – P. 6-12.
2. Sytchev A. N. A novel loaded switched line phase shifter based on 3-D structure with meander-line //Proc. APMС. – 1998. – V. 2. – P. 489-492.  
<http://dx.doi.org/10.13140/RG.2.1.3539.0809>
3. Jensen T. et al. Coupled transmission lines as impedance transformer // IEEE Trans. on Microwave Theory and Techniques. – 2007. – V. 55. – №. 12. – P. 2957-2965.  
<http://doi:10.1109/TMTT.2007.909617>
4. Abbasi M., Zirath H., Angelov I. Q-, V-, and W-band power amplifiers utilizing coupled lines for impedance matching //2008 IEEE MTT-S Int. Microwave Symp. Digest. – IEEE, 2008. – P. 863-866. <http://doi:10.1109/MWSYM.2008.4632969>
5. Wincza K., Gruszczynski S., Kuta S. Approach to the design of asymmetric coupled-line directional couplers with the maximum achievable impedance-transformation ratio //IEEE Trans. on Microwave Theory and Techniques. – 2012.– V. 60. – № 5. – P. 1218-1225. <http://doi:10.1109/TMTT.2012.2187065>
6. Piekarz I. et al. Low-cost fully additively manufactured passive microwave components exploiting available 3D flexibility //Scientific Reports. – 2023. – V. 13. – № 1. – P. 2886. <https://doi.org/10.1038/s41598-023-30163-4>
7. Cristal E. G. Coupled-transmission-line directional couplers with coupled lines of unequal characteristic impedances //IEEE Trans. on Microwave Theory and Techniques. – 1966. – V. 14. – №. 7. – P. 337-346.  
<http://doi:10.1109/TMTT.1966.1126266>
8. Krage M. K., Haddad G. I. Characteristics of coupled microstrip transmission lines-I: Coupled-mode formulation of inhomogeneous lines //IEEE Trans. on Microwave Theory and Techniques. – 1970. – V. 18. – №. 4. – P. 217-222.  
<http://doi:10.1109/TMTT.1970.1127192>

9. Marx K.D. Propagation modes, equivalent circuits, and characteristic termination for multiconductor transmission lines with inhomogeneous dielectrics // IEEE Trans. on Microwave Theory and Techniques. – 1973. – V.21. – № 7. – P. 450–457. <http://doi:10.1109/TMTT.1973.1128032>
10. Tripathi V.K. Asymmetric coupled transmission lines in an inhomogeneous medium // IEEE Trans. on Microwave Theory and Techniques., 1975. – V. 23. – № 9. – P. 734–739. <http://doi:10.1109/TMTT.1975.1128665>
11. Малютин Н. Д. Матричные параметры неодинаковых связанных полосковых линий с неоднородным диэлектриком // Радиотехника и электроника. – 1976. – Т. 21. – №. 12. – С. 2473-2478.
12. Speciale R.A. Even- and odd-mode for nonsymmetrical coupled lines in nonhomogeneous media // IEEE Trans. on Microwave Theory and Techniques. – 1975. – V. 23. – № 11. – P. 897–908. <http://10.1109/TMTT.1975.1128709>
13. Sachse K. The scattering parameters and directional coupler analysis of characteristically terminated asymmetric coupled transmission lines in an inhomogeneous medium // IEEE Trans. on Microwave Theory and Techniques. – 1990. – V. 38. – №. 4. – P. 417-425. <http://doi:10.1109/22.52583>
14. Tsai C.M., Gupta K.C. A generalized model for coupled lines and its applications to two-layer planar circuits // IEEE Trans. on Microwave Theory and Techniques. – 1992. – V. 40. – №. 12. – P. 2190-2199. <https://doi:10.1109/22.179880>
15. Mongia R., Bahl I. J., Bhartia P. RF and microwave coupled-line circuits. – 1999. – 520 p.
16. Сычев А.Н., Стручков С.М. Системы параметров одинаковых связанных линий с неуравновешенной электромагнитной связью // Доклады ТУСУР. – 2014. – № 1 (31). –С. 39–50.
17. Сычев А.Н., Рудый Н.Ю. Параметры несимметричных связанных линий с неоднородным диэлектриком // Доклады ТУСУР. – 2018. – Т. 21, № 4-1. – С. 7–15.



18. Сычев А.Н., Стручков С.М., Рудый Н.Ю. Синтез идеального фазового отношения для ответвителей на связанных линиях по заданному типу направленности // Доклады ТУСУР. – 2017. – Т. 20, № 2. – С. 15–18.
19. Фельдштейн А.Л., Явич Л.Р. Синтез четырехполюсников и восьмиполусников на СВЧ. – Изд. 2-е. – М.: Связь, 1971. – 388 с.
20. Сычев А.Н. Анализ и синтез несимметричных связанных линий в однородной диэлектрической среде // Доклады ТУСУР. – 2019. – Т. 22, № 1. – С. 11–19.
21. Sychev A. N. et al. Theory of Doubly-Shielded Coupled Lines for Directional Couplers of Various Directivity Types with Impedance Transformation // IEEE Trans. on Microwave Theory and Techniques. – 2023. – V. 71. – № 5. – P. 2104-2117. <http://doi:10.1109/TMTT.2022.3227310>
22. Mao J. F., Wing O., Chang F. Y. Synthesis of coupled transmission lines //IEEE Trans. on Circuits and Systems I: Fundamental Theory and Applications. – 1997. – V. 44. – № 4. – P. 327-337. <http://doi:10.1109/81.563622>

**Для цитирования:**

Сычев А.Н. Синтез модальных и погонных параметров несимметричных связанных линий с неоднородным диэлектриком // Журнал радиоэлектроники. – 2024. – №. 6. <https://doi.org/10.30898/1684-1719.2024.6.7>